Практикум построения высокоэффективных ККМ на компонентах INFINEON







План вебинара

- 1 Типы активных ККМ. Их преимущества и недостатки
- 2 Демонстрационная плата Boost PFC 800W от Infineon
- 3 Особенности работы микросхемы ККМ контроллера ICE3PCS01G
- 4 Новые линейки MOSFET транзисторов серии С7 и Р7
- 5 Параметры SiC диодов Шоттки 5-ого поколения
- 6 Параметры драйвера управления транзисторами 2EDN7524F
- Практическое сравнение работы различных поколений транзисторов и диодов в схеме ККМ от Infineon
- 8 Подведение итогов тестирования



План вебинара

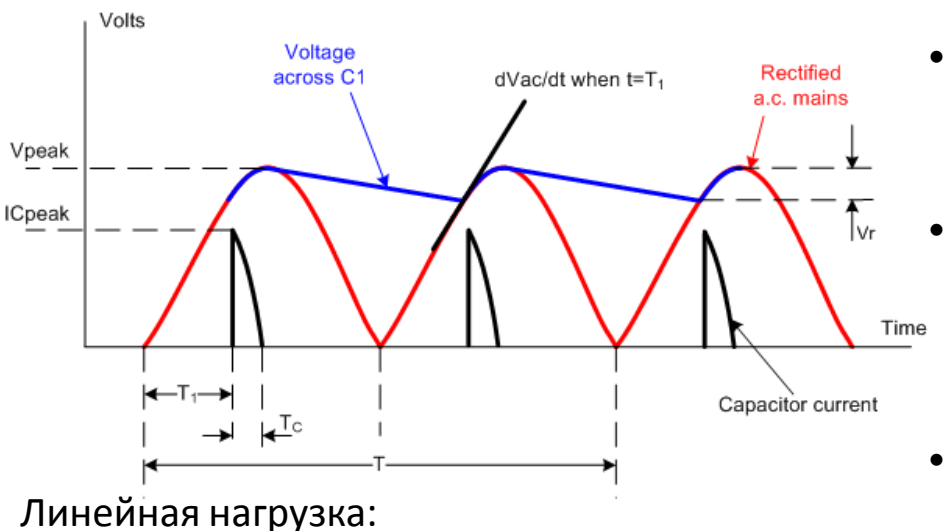
- 1 Типы активных ККМ. Их преимущества и недостатки
- 2 Демонстрационная плата Boost PFC 800W от Infineon
- 3 Особенности работы микросхемы ККМ контроллера ICE3PCS01G
- 4 Новые линейки MOSFET транзисторов серии С7 и Р7
- 5 Параметры SiC диодов Шоттки 5-ого поколения
- 6 Параметры драйвера управления транзисторами 2EDN7524F
- Практическое сравнение работы различных поколений транзисторов и диодов в схеме ККМ от Infineon
- 8 Подведение итогов тестирования

Коррекция коэффициента мощности (ККМ)

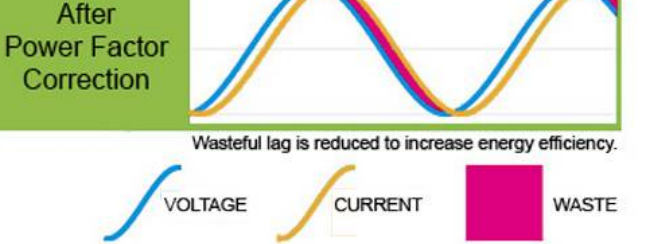


Как может выглядеть $\cos(\phi) < 1$:

Нелинейная нагрузка:



Before Power Factor Correction Lag between voltage & current creates waste.



Чем так плох большой реактивный ток (или низкий коэффициент мощности):

- Реактивный ток не совершает полезной работы (поддерживает электро-магнитные взаимодействия схемы);
 - Реактивный ток течёт вместе с активным и занимает полезную площадь проводника. И, вместе с тем, участвует в нагреве проводов;
- Реактивный ток искажает синусоидальную форму напряжения при пиках потребления;

1.
$$\cos \varphi = \frac{P}{S}$$

2.
$$P = U imes I imes \cos arphi$$

3.
$$Q=U imes I imes \sin arphi$$

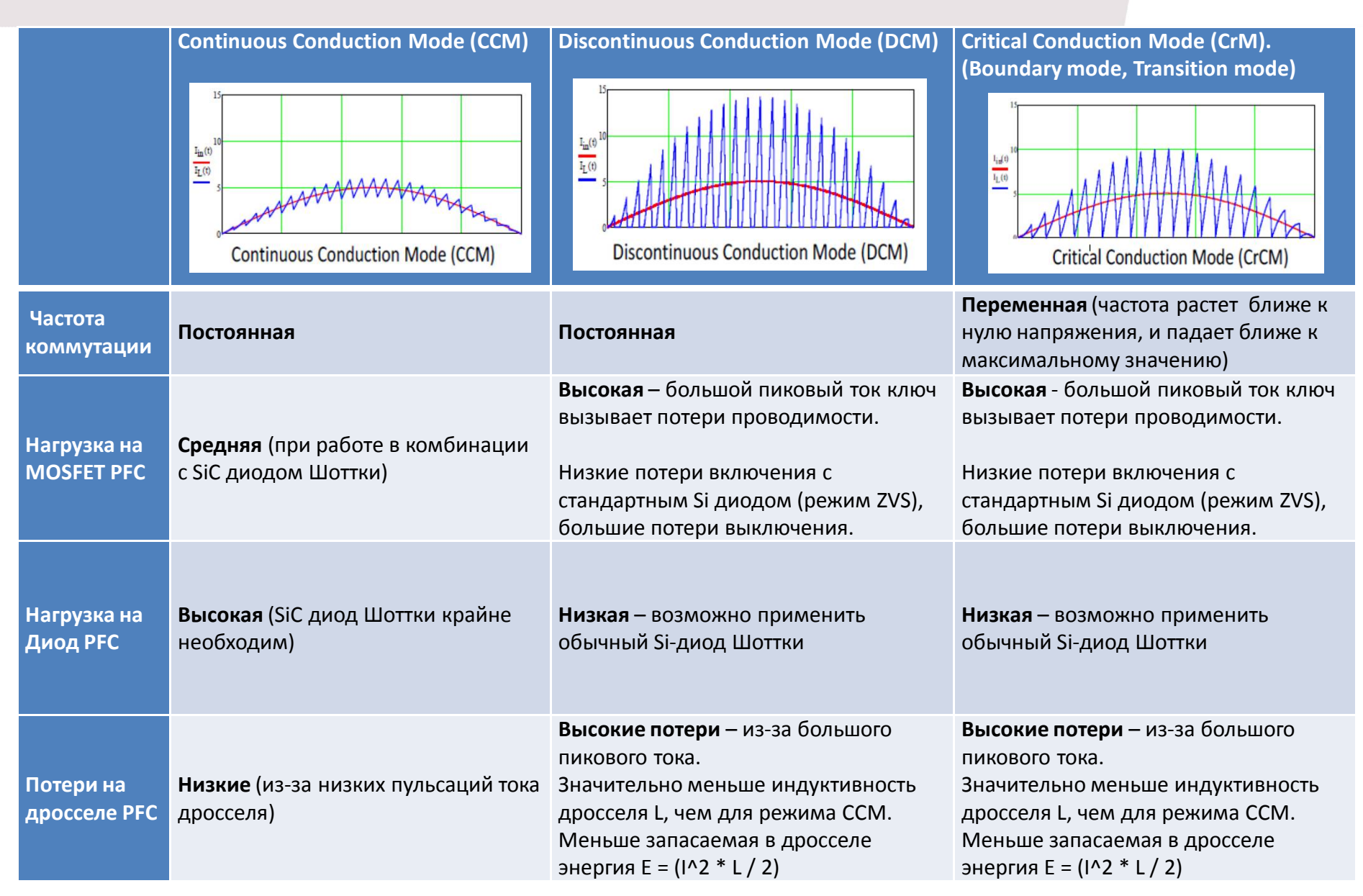
4.
$$S=U imes I=\sqrt{P^2+Q^2}$$



Здесь P — активная мощность, S — полная мощность, Q — реактивная мощность.

Режимы управления активных однофазных ККМ







План вебинара

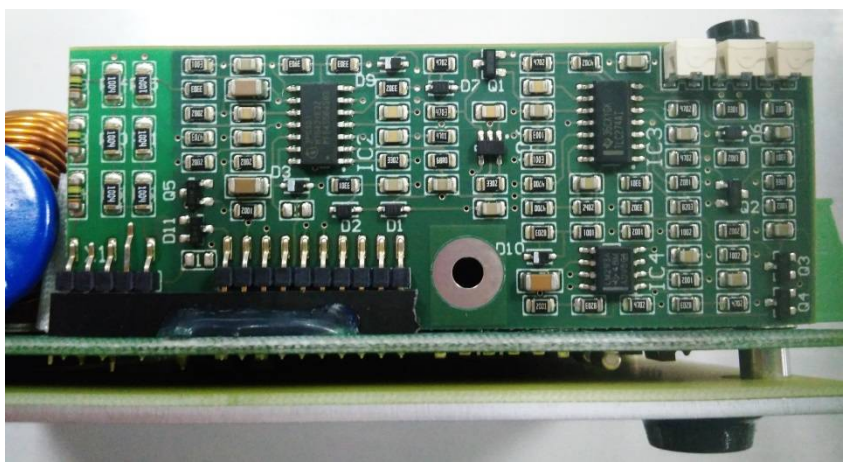
- 1 Типы активных ККМ. Их преимущества и недостатки
- Демонстрационная плата Boost PFC 800W от Infineon
- З Особенности работы микросхемы ККМ контроллера ICE3PCS01G
- 4 Новые линейки MOSFET транзисторов серии С7 и Р7
- 5 Параметры SiC диодов Шоттки 5-ого поколения
- 6 Параметры драйвера управления транзисторами 2EDN7524F
- Практическое сравнение работы различных поколений транзисторов и диодов в схеме ККМ от Infineon
- 8 Подведение итогов тестирования

Фотографии и параметры демо-платы PFC CCM 800W от Infineon



EVAL 800W PFC C7 V2



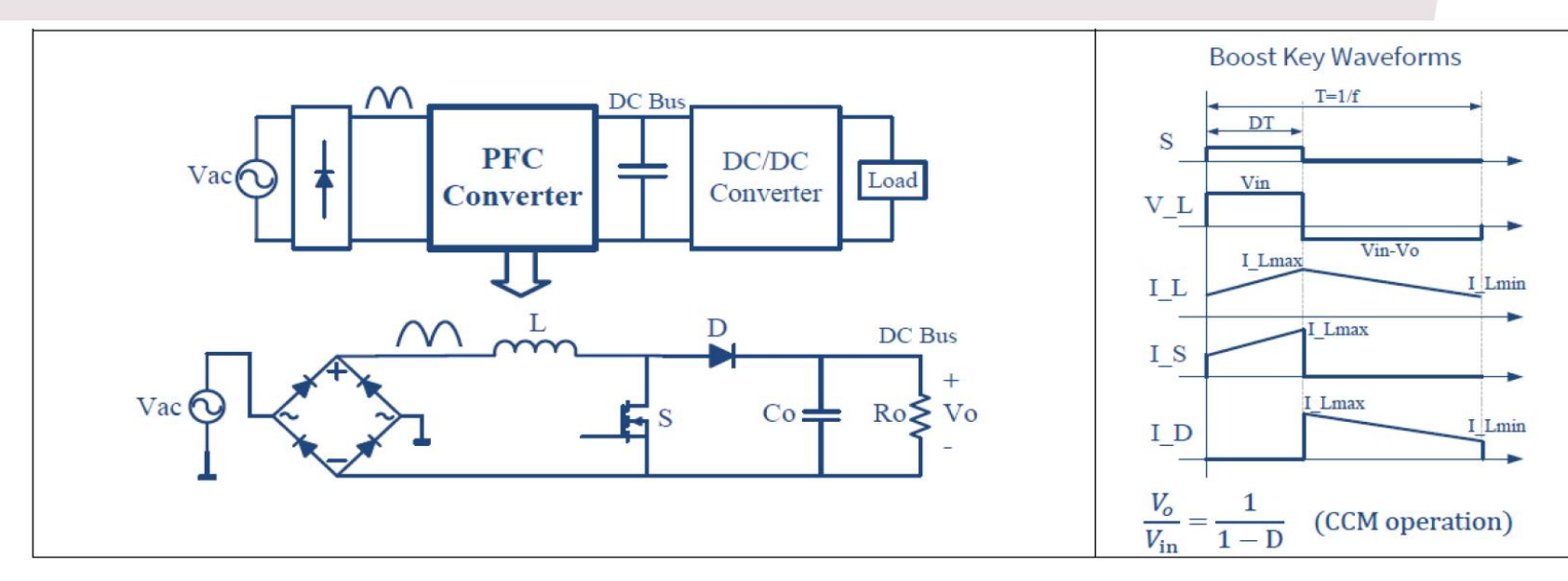


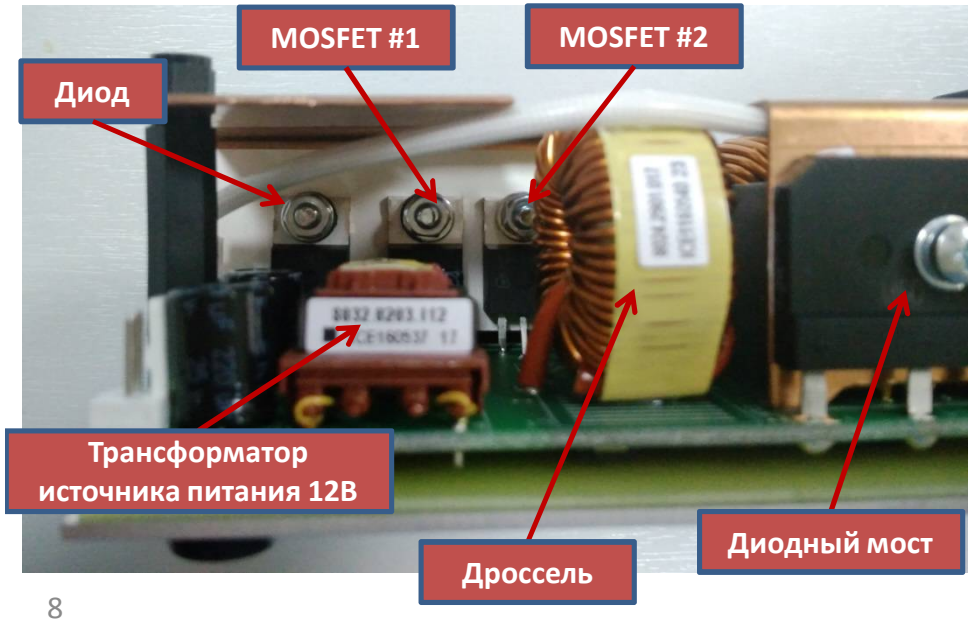
Design Guide for Boost Type CCM PFC with ICE3PCSxx

| Параметр платы | Значение |
|--|--|
| Диапазон входных напряжения, Vin | 90 – 265 VAC |
| Диапазон частот входного напряжения | 47 – 64 Hz |
| Выходное напряжение, Vout | 380 VDC |
| Выходная мощность, Pout | 800 W |
| Максимальная выходная мощность, Pout_max | 1000 W |
| Максимальный выходной ток, lout_max | 2.1 A |
| Максимальный входной ток, lin_max | 10 Arms @ Vin = 90 VAC, Pout = 800 W |
| Максимальная пульсация на выходе, Vout_pp | Max. 20 Vpp |
| Коэффициент мощности, PF | > 0,98 @ 20% выходной мощности |
| Коэффициент нелинейных искажений, THD | < 3.0% @ 50-100 % выходной мощности |
| Габариты демо-платы Д х Ш х В | 127 х 86 х 42 мм |
| Масса демо-платы | ~ 1300 г |

Основные компоненты демо-платы PFC CCM 800W or Infineon



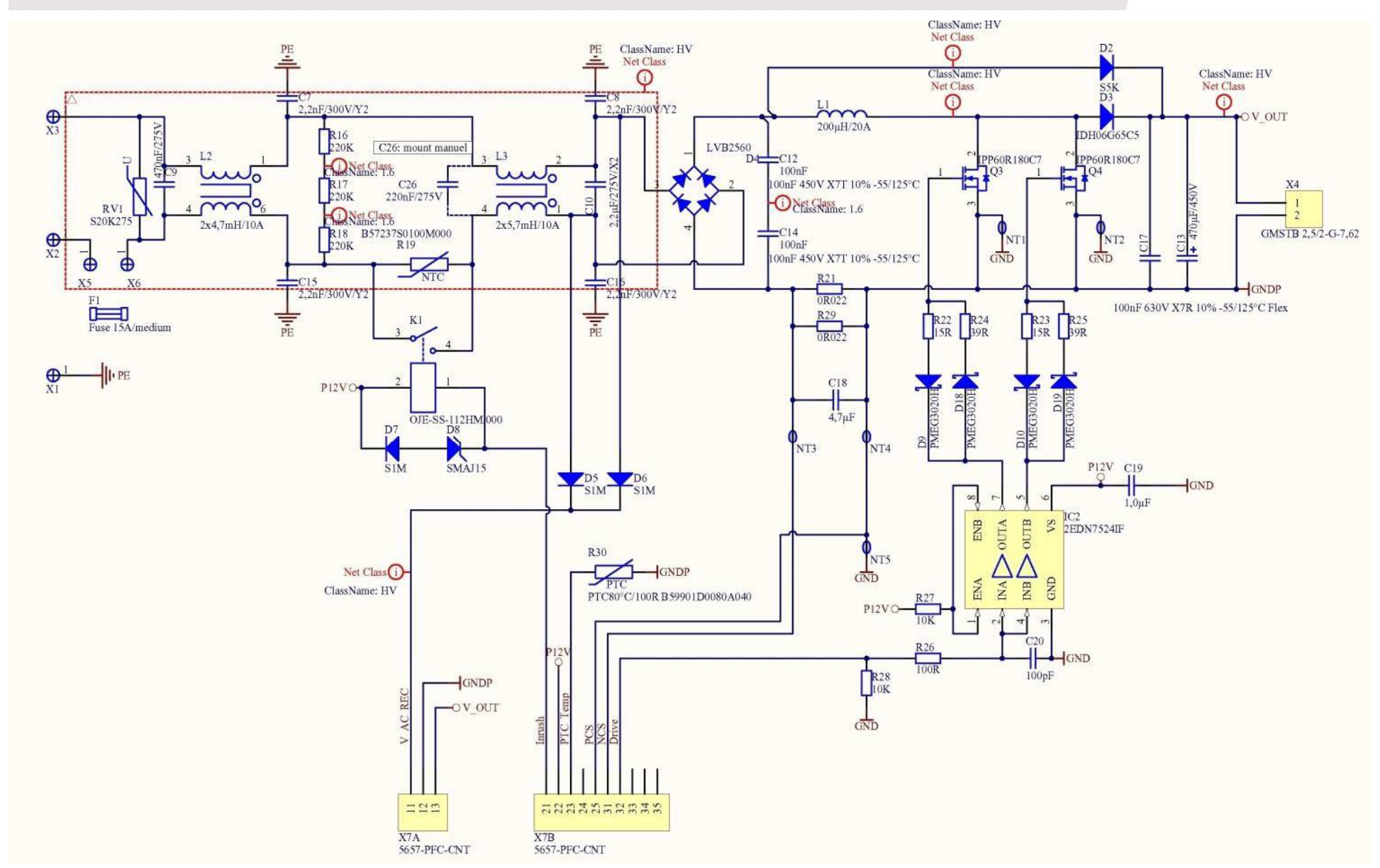




| Компонент схемы | Наименование |
|---------------------------|--|
| MOSFET #1/#2 | CoolMOS™ C7 / 2x IPP60R180C7 |
| Диод | thinQ!™ SiC G5 / IDH06G65C5 |
| Дроссель | CH270060 «High Flux» Ni-Fe alloy 200uH / 10A |
| PFC Контроллер | ICE3PCS01G / XMC1402 |
| Драйвер управления | EiceDRIVER™ / 2EDN7524F |
| Служебный источник 12В | CoolSET™ QR / ICE2QR2280Z |

Принципиальная схема силовой части





Принципиальная схема PFC-контроллера ICE3PCS01G



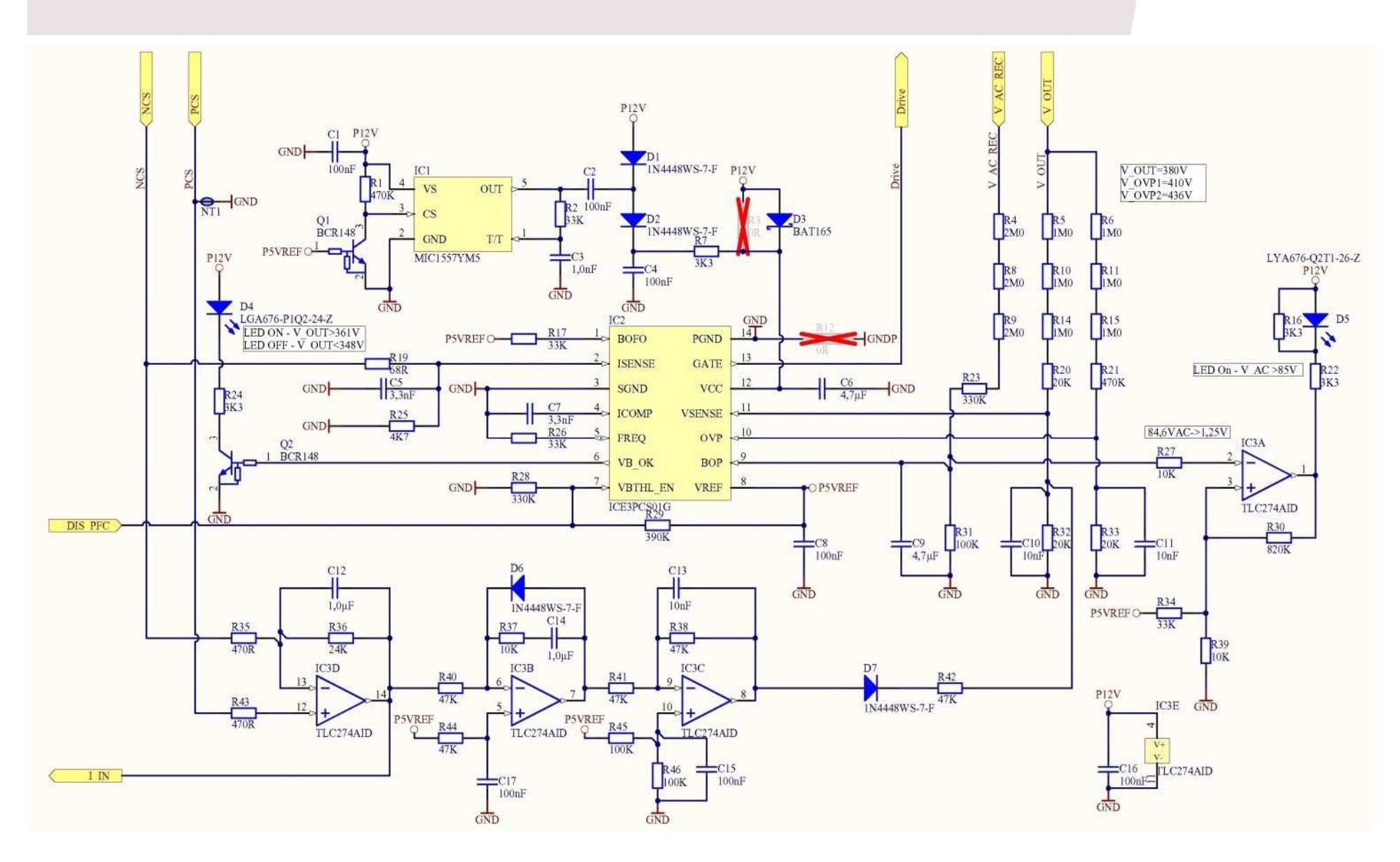


Таблица энергетических параметров схемы



| P _{load} [%] | V _{in} [V] | I _{in} [A] | P _{in} [W] | V _{out} [V] | I _{out} [A] | P _{out} [W] | η[%] | PF | iTHD (%) |
|-----------------------|---------------------|---------------------|---------------------|----------------------|----------------------|----------------------|-------|-------|----------|
| 10 | 230,87 | 0,4057 | 80,2 | 380,03 | 0,1998 | 75,9 | 94,64 | 0,857 | 12,83 |
| 20 | 230,85 | 0,7345 | 162,3 | 380 | 0,4122 | 156,6 | 96,49 | 0,957 | 10,66 |
| 30 | 230,84 | 1,0822 | 244,7 | 380,01 | 0,625 | 237,5 | 97,06 | 0,979 | 6,85 |
| 40 | 230,83 | 1,4293 | 326,3 | 380 | 0,8373 | 318,1 | 97,49 | 0,989 | 3,21 |
| 50 | 230,81 | 1,7851 | 408,7 | 379,96 | 1,05 | 398,9 | 97,60 | 0,992 | 2,42 |
| 60 | 230,78 | 2,1398 | 490,8 | 379,96 | 1,2619 | 479,4 | 97,68 | 0,994 | 2,82 |
| 70 | 230,76 | 2,4935 | 572,7 | 379,95 | 1,4741 | 560 | 97,78 | 0,995 | 2,62 |
| 80 | 230,74 | 2,8249 | 649,3 | 379,95 | 1,6717 | 635,1 | 97,81 | 0,996 | 2,34 |
| 90 | 230,72 | 3,1799 | 731,2 | 379,94 | 1,8833 | 715,4 | 97,84 | 0,997 | 2,56 |
| 100 | 230,7 | 3,5366 | 813,3 | 379,93 | 2,0954 | 796 | 97,87 | 0,997 | 2,94 |

800 W 130 kHz PFC Board with ICE3PCS controller 98 97 Efficiency at 96 95 94 Vin=115Vac Efficiency at Vin=230Vac 93 50 60 Load (%) 20 30 70 80 90 100 11



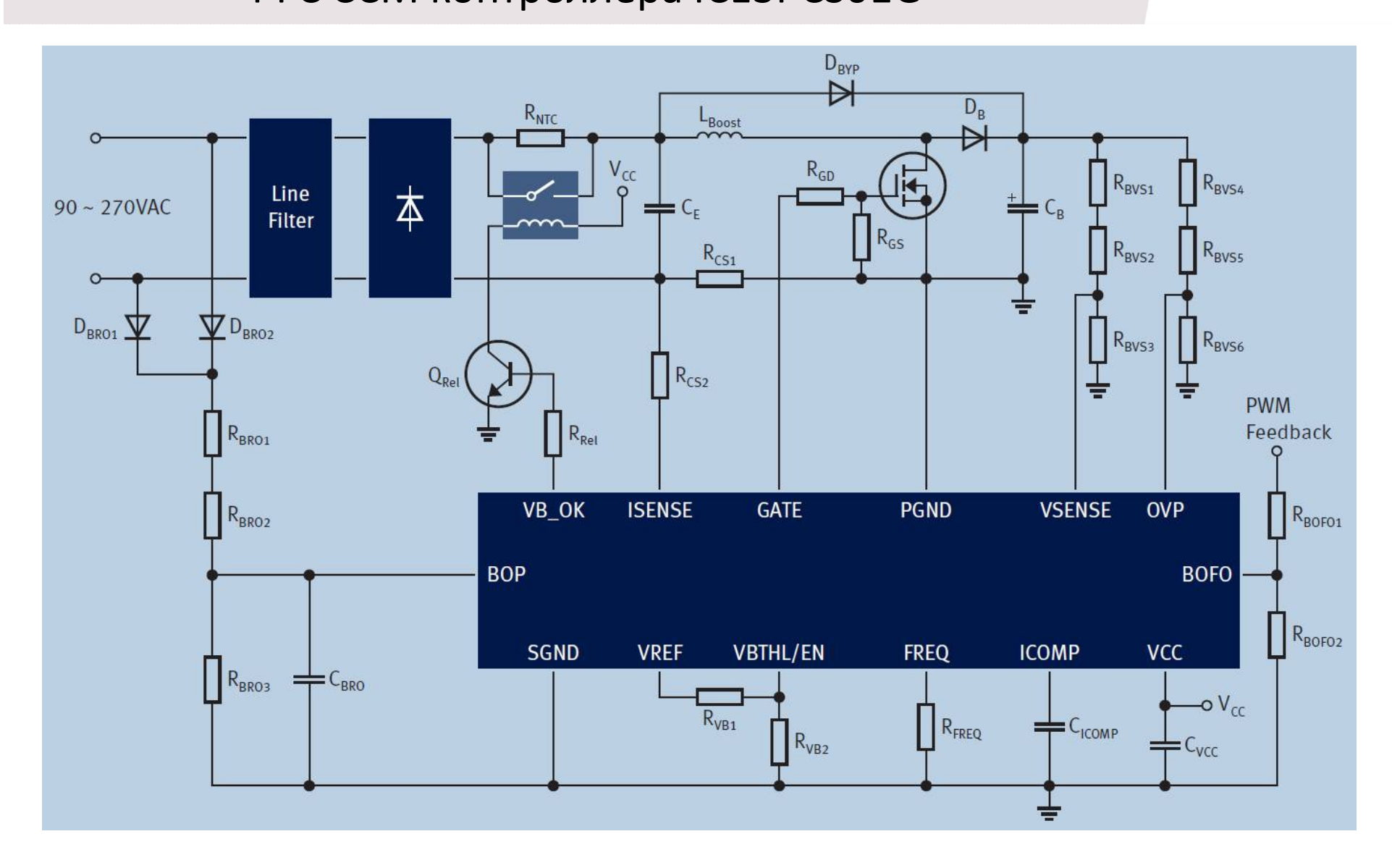


План вебинара

- 1 Типы активных ККМ. Их преимущества и недостатки
- 2 Демонстрационная плата Boost PFC 800W от Infineon
- З Особенности работы микросхемы ККМ контроллера ICE3PCS01G
- 4 Новые линейки MOSFET транзисторов серии С7 и Р7
- 5 Параметры SiC диодов Шоттки 5-ого поколения
- 6 Параметры драйвера управления транзисторами 2EDN7524F
- Практическое сравнение работы различных поколений транзисторов и диодов в схеме ККМ от Infineon
- 8 Подведение итогов тестирования

Типовая схема применения PFC CCM контроллера ICE3PCS01G





3-е поколение CCM PFC контроллеров ICE3PCS0xG - Основные «фишки»



- > Несложное решение с небольшим количеством внешних компонентов;
- Управление по среднему току без прямого измерения синусоидальной формы входного напряжения;
- > Частота коммутации настраивается в пределах (20 kHz 250 kHz);
- > Синхронизация внешним сигналом для многофазных схем (20 kHz 150 kHz);
- > Настраиваемая защита от пониженного входного напряжения;
- > 2 уровня защита по перенапряжению на выходе (OVP2);
- > Защита от обрыва в цепи обратной связи по напряжению;
- > Внешняя компенсация в цепи обратной связи по току;
- > Сигнал PFC контроллера «Enable»;
- > Внутренний регулятор 5V с током 5-10mA;
- > Цифровое управление в цепи обратной связи по напряжению;
- Сигнал VB_OK типа «Power Good» для управления внешним реле или другим ШИМконтроллером;
- > Режим «Boost Follower» с настройкой выходного напряжения при пониженном входном напряжении;



Серия ССМ PFC контроллеров ICE2PCS0xG и ICE3PCS0xG



| CCM PFC by Feature | ICE2PCS01G ICE2PCS05G | ICE2PCS02G ICE2PCS03G | ICE3PCS03G | ICE3PCS02G | ICE3PCS01G | | |
|------------------------------|--------------------------|--------------------------|------------|------------|------------|--|--|
| Digital control voltage loop | N. | A. | ٧ | ٧ | ٧ | | |
| Variable frequency | ٧ | N.A. | ٧ | ٧ | ٧ | | |
| Synchronous frequency | N. | A. | ٧ | ٧ | ٧ | | |
| Open loop protection | ٧ | ٧ | ٧ | ٧ | ٧ | | |
| Low peak current limit | -1 | -1 | -0,4 | -0,4 | -0,2 | | |
| Brown out protection | N.A. | ٧ | ٧ | N.A. | ٧ | | |
| OVP | ٧ | ٧ | ٧ | ٧ | ٧ | | |
| 2nd OVP | | N.A. √ | | | | | |
| PFC enable function | | N.A. | | | | | |
| Boost follower mode | | N.A. | | | | | |
| 5V regulator | | N. | A. | | ٧ | | |



План вебинара

- 1 Типы активных ККМ. Их преимущества и недостатки
- 2 Демонстрационная плата Boost PFC 800W от Infineon
- З Особенности работы микросхемы ККМ контроллера ICE3PCS01G
- 4 Новые линейки MOSFET транзисторов серии С7 и Р7
- 5 Параметры SiC диодов Шоттки 5-ого поколения
- 6 Параметры драйвера управления транзисторами 2EDN7524F
- Практическое сравнение работы различных поколений транзисторов и диодов в схеме ККМ от Infineon
- 8 Подведение итогов тестирования

600 V CoolMOS™ C7 – еще один шаг навстречу GaN технологии



Frequency



GaN (future)

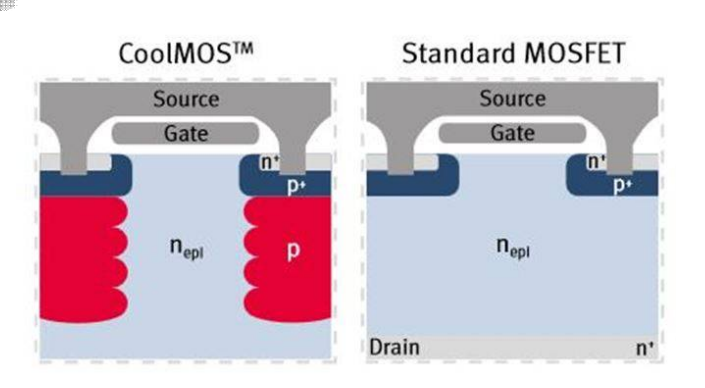
650/600 V CoolMOS™ G7 (Q2-Q4 2016)

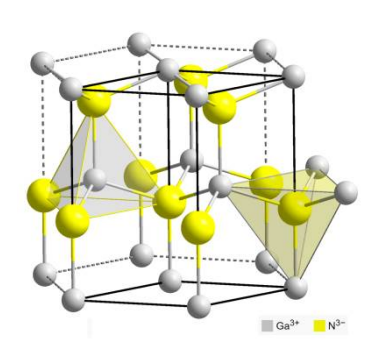
- > Further 15% loss reduction
- Innovative package solution (TO-Leadless)

600 V CoolMOS™ C7 (May 2015)

- Hard- and soft switching applications
- Lowest Superjunction switching losses in the industry

650 V CoolMOS™ C7 (2013)



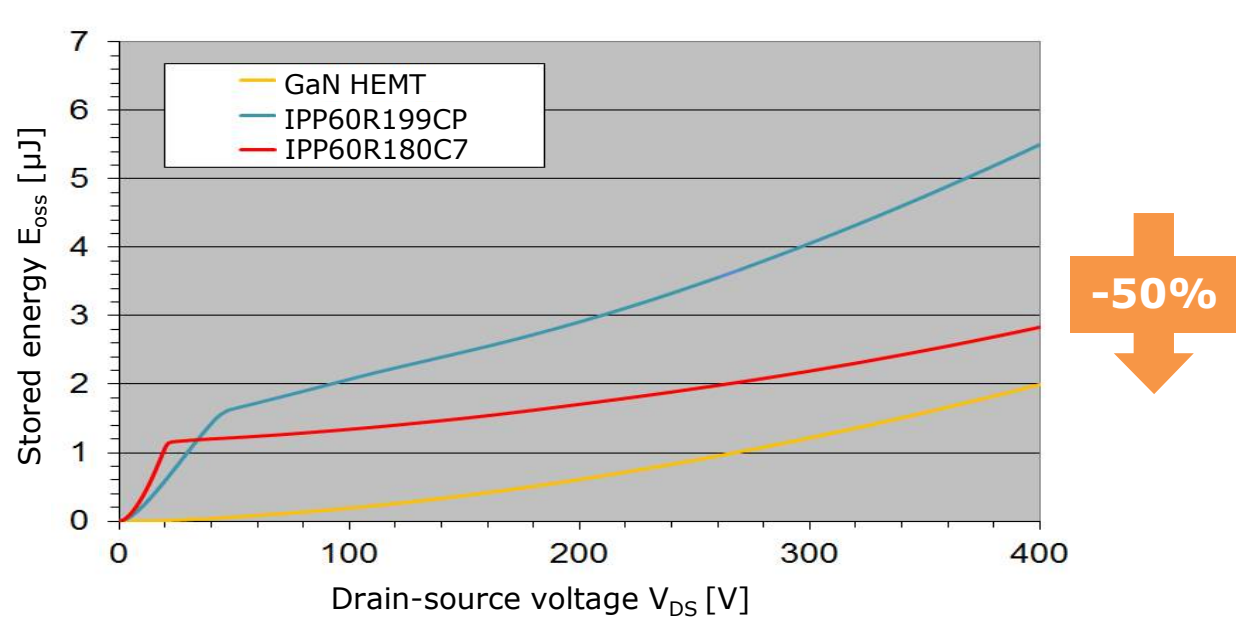


GaN-structure

600 V CoolMOS™ C7 – еще один шаг навстречу GaN технологии







- CoolMOS™ C7 and GaN with similar performance¹)
- > CoolMOS™ C7 comes with benefit of a well established manufacturing technology

¹⁾ In hard switching topologies, e.g., PFC and TTF

Таблица основных параметров 600 V MOSFET CoolMOS™ С7 в сравнении с аналогами других производителей



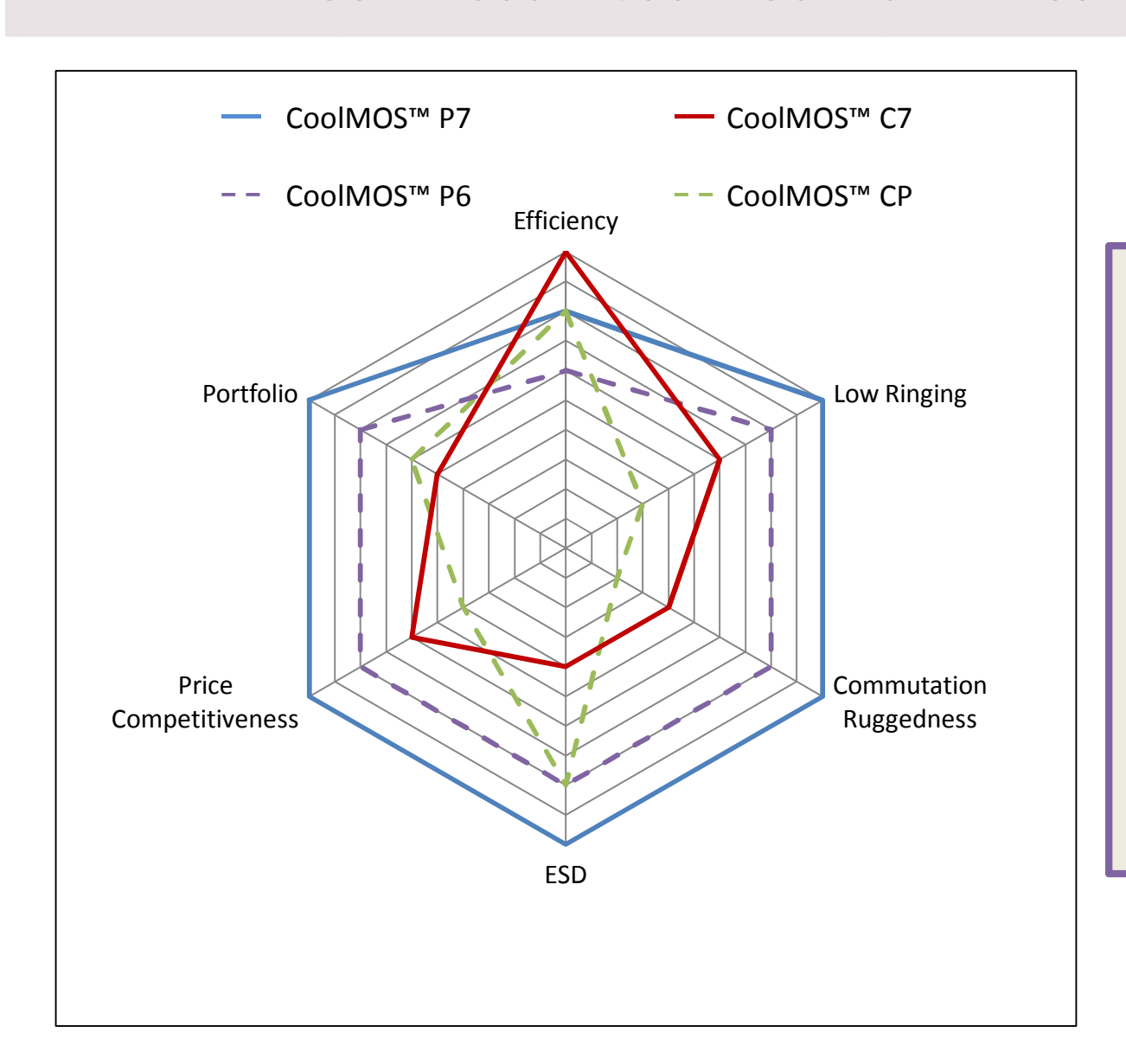
| Device Parameters | Competito r A | Competitor B | 600 V CoolMOS™ C7 IPP60R180C 7 | Comments |
|---|------------------|-----------------|--|---|
| R _{DS(on)} max [mΩ] | 190 mΩ | 190 mΩ | 180 mΩ | Similar R _{DS(on)} for real comparison |
| Gate Charge Q _G type [nC] | 38 nC | 29 nC | 24 nC | Q _G , C _{oss} , E _{oss} , to show |
| C _{oss} [pF] | 35 pr | 55 pF | 1 pF | advantages in switching kHz losses |
| F.O.M $R_{DS(on)} *Q_G$ [Ω .nC] | 6§.βਖ਼zΩ* | 1 Ω*nC | nC | Benefits over light load and full load |

Similar losses at higher frequency leads to **cost reduction** of magnetic components with improved power density



Флагманские линейки MOSFET 600 V CoolMOSTM от Infineon





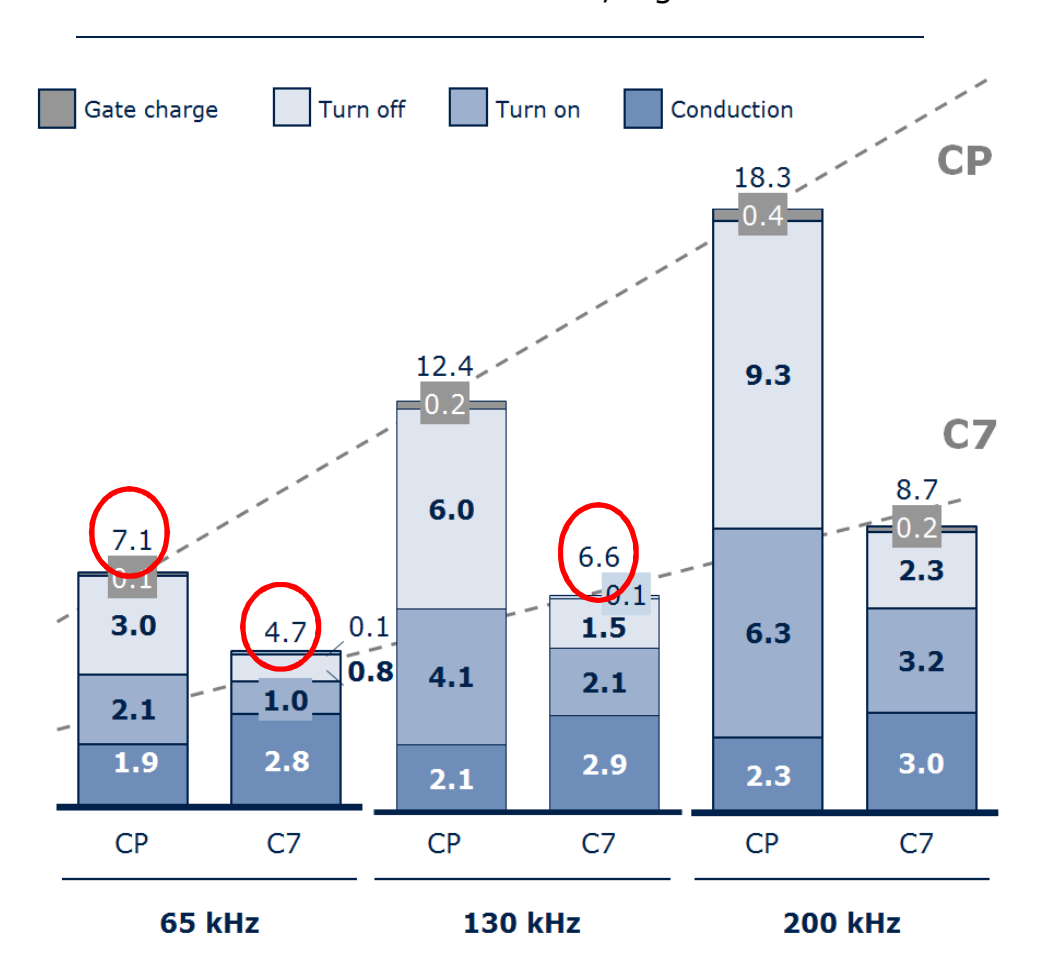
- Most rounded technology of all CoolMOS[™] families
- > Perfect combination of:
 - high efficiency
 - excellent ease-of-use
 - competitive price and
 - outstanding portfolio granularity

Потери 600 V CoolMOS™ C7 в схеме PFC CCM 2500W при разных частотах коммутации



Total simulated MOSFET losses [W]

IPW60R045CP vs IPZ60R060C7, highline 2.5 kW



- Smaller MOSFET losses for CoolMOS™ C7 @ 130 kHz than CoolMOS™ CP @ 65 kHz
- Increasing relative advantage of CoolMOS™ C7 with growing frequencies



600 V CoolMOS™ C7 opens a path to higher frequencies in proven silicon technology

Портфолио транзисторов серии CoolMOS™ C7



| | A | F | | | | | |
|------------------------------|-------------|--------------------|-------------|--------------------|-------------|-------------|-------------|
| R _{DS(on)} max [mΩ] | DPAK | D ² PAK | ThinPAK 8x8 | TO-220 | TO-220 FP | TO-247 | TO-247 4pin |
| 180/185 | IPD60R180C7 | IPB60R180C7 | IPL60R185C7 | <u>IPP60R180C7</u> | IPA60R180C7 | IPW60R180C7 | |
| 120/125 | | IPB60R120C7 | IPL60R125C7 | IPP60R120C7 | IPA60R120C7 | IPW60R120C7 | |
| 99/104 | | IPB60R099C7 | IPL60R104C7 | IPP60R099C7 | IPA60R099C7 | IPW60R099C7 | IPZ60R099C7 |
| 60/65 | | IPB60R060C7 | IPL60R065C7 | IPP60R0607 | IPA60R060C7 | IPW60R060C7 | IPZ60R060C7 |
| 40 | | IPB60R040C7 | | IPP60R040C7 | | IPW60R040C7 | IPZ60R040C7 |
| 17 | | | | | | IPW60R017C7 | IPZ60R017C7 |

Образцы доступны со склада Компэл!

CoolMOS™ C7 Gold в новом корпусе TOLL - закрепление отличного результата



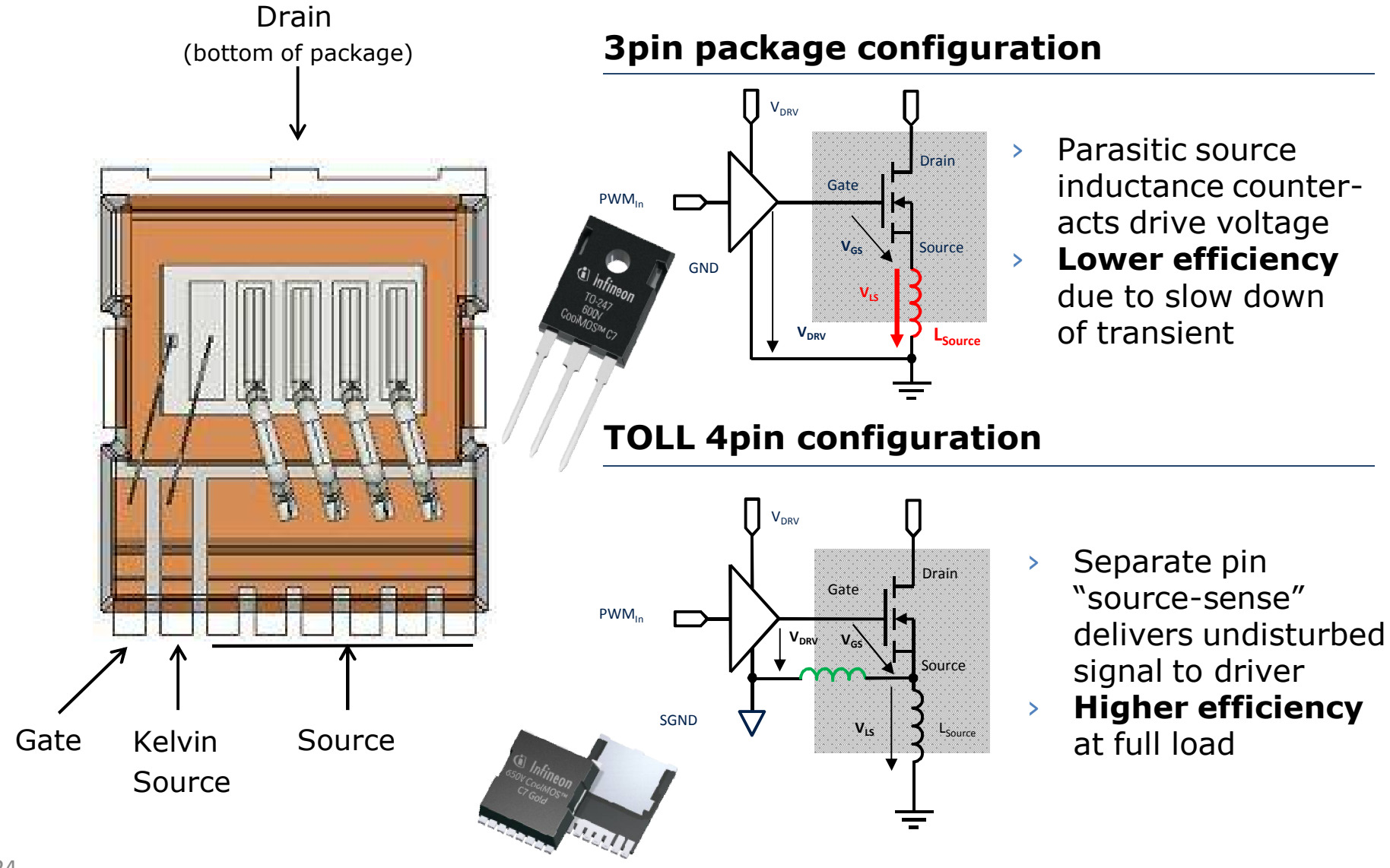
C7 Gold again improves performance in high efficiency applications such as server and telecom

| Parameter | Competitor A | Competitor B | CoolMOS™ C7 | CoolMOS™ C7 GOLD (G7) | Comparison |
|-------------------------------|------------------|-----------------|--------------------|--------------------------|-------------------------------------|
| Package | D ² P | PAK | D ² PAK | TOLL | |
| Footprint | 150 mm² | | 150 mm² | 115mm² | Smaller footprint |
| Voltage (V) | 650 | 650 | 650 | 650 | |
| $R_{DS(on)\ max.}\ [m\Omega]$ | 110 | 95 | 95 | 105 | Similar $R_{DS(on)}$ for comparison |
| Q _g typ [nC] | 98 | 71 | 45 | 35 | 22% lower than C7 |
| C _{oss} typ [pF] | 110 | 74 | 33 | 26 | 21% lower than C7 |

C7 technology already bestin-class over competition C7 Gold increases again performance

MOSFET C7 в инновационном корпусе TO-Leadless





Портфолио транзисторов серии C7 Gold (G7) в TOLL корпусе



650 V

| $R_{DS(on)}$ max. $[m\Omega]$ | I _D @ 25°C [A] | TOLL G7 650V |
|-------------------------------|---------------------------|--------------|
| 195 | 14 | IPT65R195G7 |
| | | |
| 105 | 24 | IPT65R105G7 |
| | | |
| 33 | 69 | IPT65R033G7 |
| Product | Mass production | |

600 V

| $R_{DS(on)}$ max. [m Ω] | I _D @ 25°C [A] | TOLL G7 600V |
|---------------------------------|---------------------------|-----------------|
| 150 | 45 | IPT60R150G7 |
| | | |
| 125 | 54 | IPT60R125G7 |
| | | |
| 102 | 66 | IPT60R102G7 |
| | | |
| 80 | 83 | IPT60R080G7 |
| | | |
| 50 | 135 | IPT60R050G7 |
| | | |
| 28 | 245 | IPT60R028G7 |
| Product release | | Mass production |



План вебинара

- 1 Типы активных ККМ. Их преимущества и недостатки
- 2 Демонстрационная плата Boost PFC 800W от Infineon
- З Особенности работы микросхемы ККМ контроллера ICE3PCS01G
- 4 Новые линейки MOSFET транзисторов серии С7 и Р7
- 5 Параметры SiC диодов Шоттки 5-ого поколения
- 6 Параметры драйвера управления транзисторами 2EDN7524F
- Практическое сравнение работы различных поколений транзисторов и диодов в схеме ККМ от Infineon
- 8 Подведение итогов тестирования

Линейка CoolSiCTM диодов Шоттки Основные преимущества Infineon



Value proposition



Optimum efficiency and surge current capability

- > vs. Rohm: efficiency on par, surge current much better
- vs. Cree and STMicro: efficiency better, surge current almost on par



- ✓ Competitive pricing at market price
- ✓ Supply security five different SiC wafer suppliers, no single-source
- ✓ Highest quality and reliability only 100 fails over 100 millions shipped parts

Главные преимущества технологии



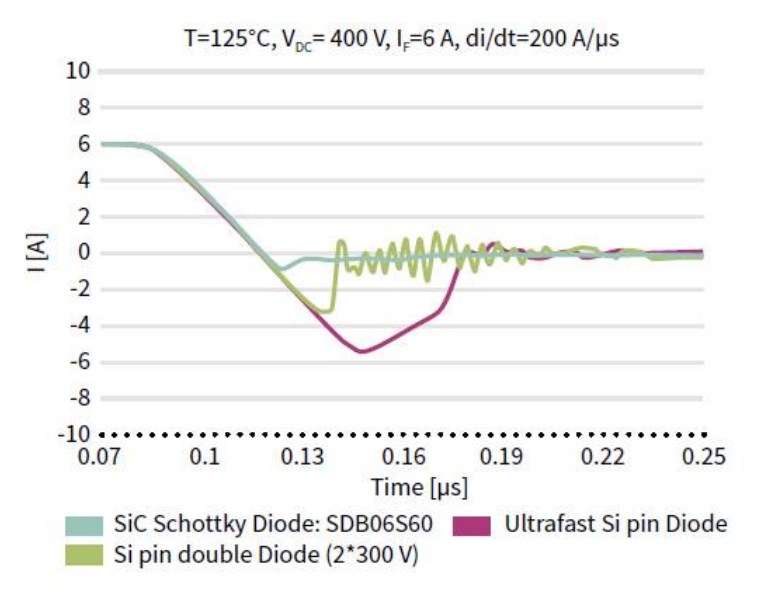
> Key Features & Advantages

- Low switching losses due to negligible reverse recovery charge or stored charge
- Switching behavior independent from load current, switching speed and temperature
- High operation temperature (T_{i,max} 175°C)
- Reduction of CoolMOS[™] or IGBT turn-on loss

> Key Benefits

- Improved Efficiency
- Allows use of smaller MOSFET
- Cost / Size savings due to reduced cooling requirements
- Enabling higher frequency / increased power density
- Reduced EMI
- Increased system reliability due to lower operating temperature

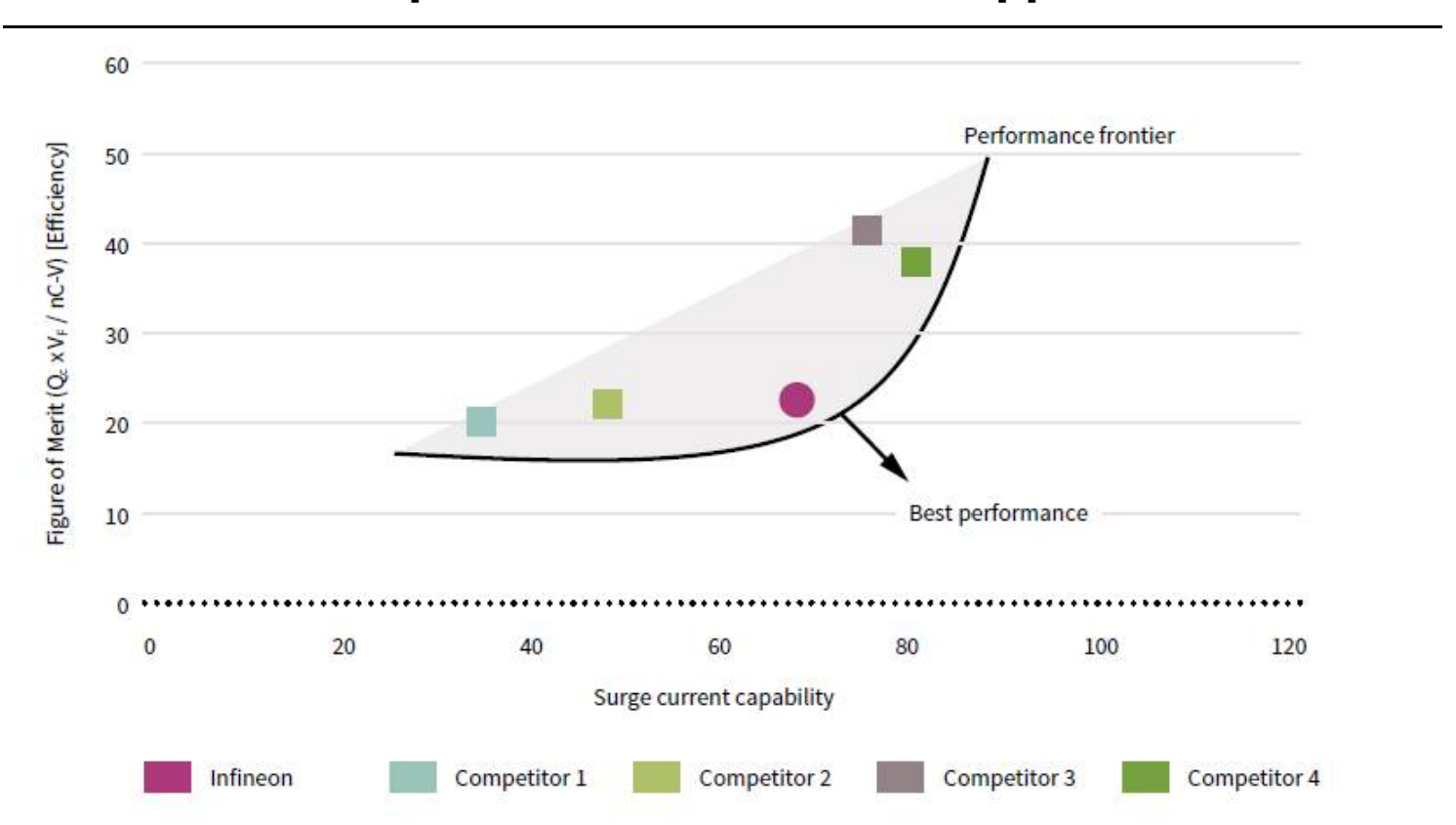
Reverse recovery charge of SiC versus Silicon devices



Технология CoolSIC™ Gen 5 Позиционирование на рынке



8A SiC diode comparison from different suppliers



Infineon CoolSiCTM Gen 5 diode with optimum efficiency and surge current capability:

- Best-in-Class figure of merit $(Q_c \times V_F)$
- High surge current capability

Технологические особенности CoolSiC™ 5-ого поколения



Wafer thickness reduced to 1/3 (110µm)



Consistent reduction of substrate resistance (main contributor above 20 A/mm²)

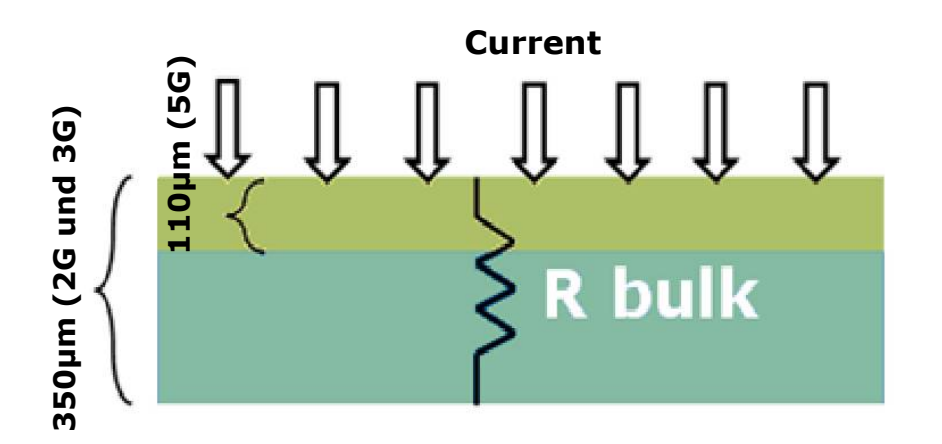


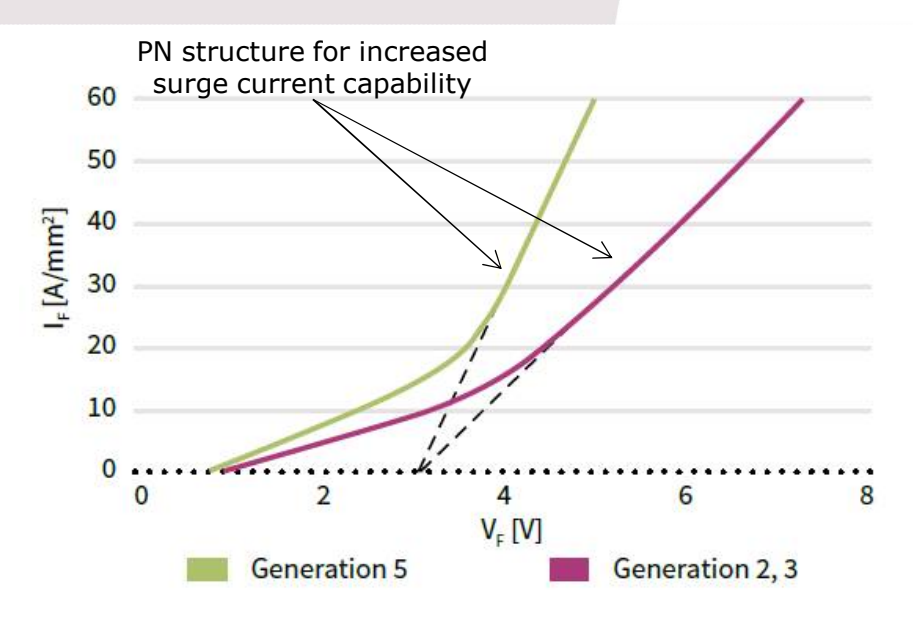
Lower Vf increase by high current spikes



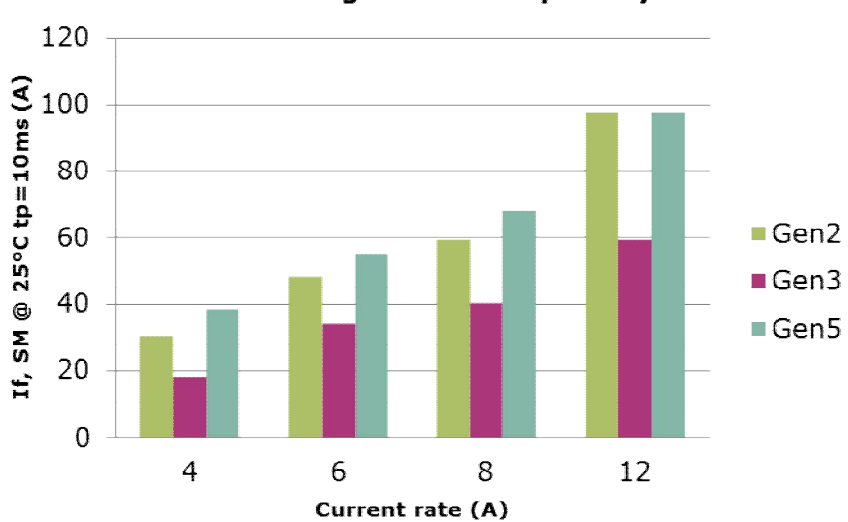
Higher surge current capability

(per unit Area)





TO220 surge current capability



Оптимизированное портфолио SiC диодов Шоттки 650B Gen5



| IF [A] | TO-220 R2L | TO-247 | D ² PAK R2L | ThinPAK 8x8 | TO-247 dual die |
|--------|------------|------------|------------------------|-------------|-----------------|
| 2A | IDH02G65C5 | | IDK02G65C5 | IDL02G65C5 | |
| 3A | IDH03G65C5 | | IDK03G65C5 | | |
| 4A | IDH04G65C5 | | IDK04G65C5 | IDL04G65C5 | |
| 5A | IDH05G65C5 | | IDK05G65C5 | | |
| 6A | IDH06G65C5 | | IDK06G65C5 | IDL06G65C5 | |
| 8A | IDH08G65C5 | | IDK08G65C5 | IDL08G65C5 | |
| 9A | IDH09G65C5 | | IDK09G65C5 | | |
| 10A | IDH10G65C5 | IDW10G65C5 | IDK10G65C5 | IDL10G65C5 | |
| 12A | IDH12G65C5 | IDW12G65C5 | IDK12G65C5 | IDL12G65C5 | |
| 16A | IDH16G65C5 | IDW16G65C5 | | | |
| 20A | IDH20G65C5 | IDW20G65C5 | | | IDW20G65C5B* |
| 24A | | | | | IDW24G65C5B* |
| 30/32A | | IDW30G65C5 | | | IDW32G65C5B* |
| 40A | | IDW40G65C5 | | | IDW40G65C5B* |

Fine granularity of I_F steps to match application needs with enough margin

PIN 3O-



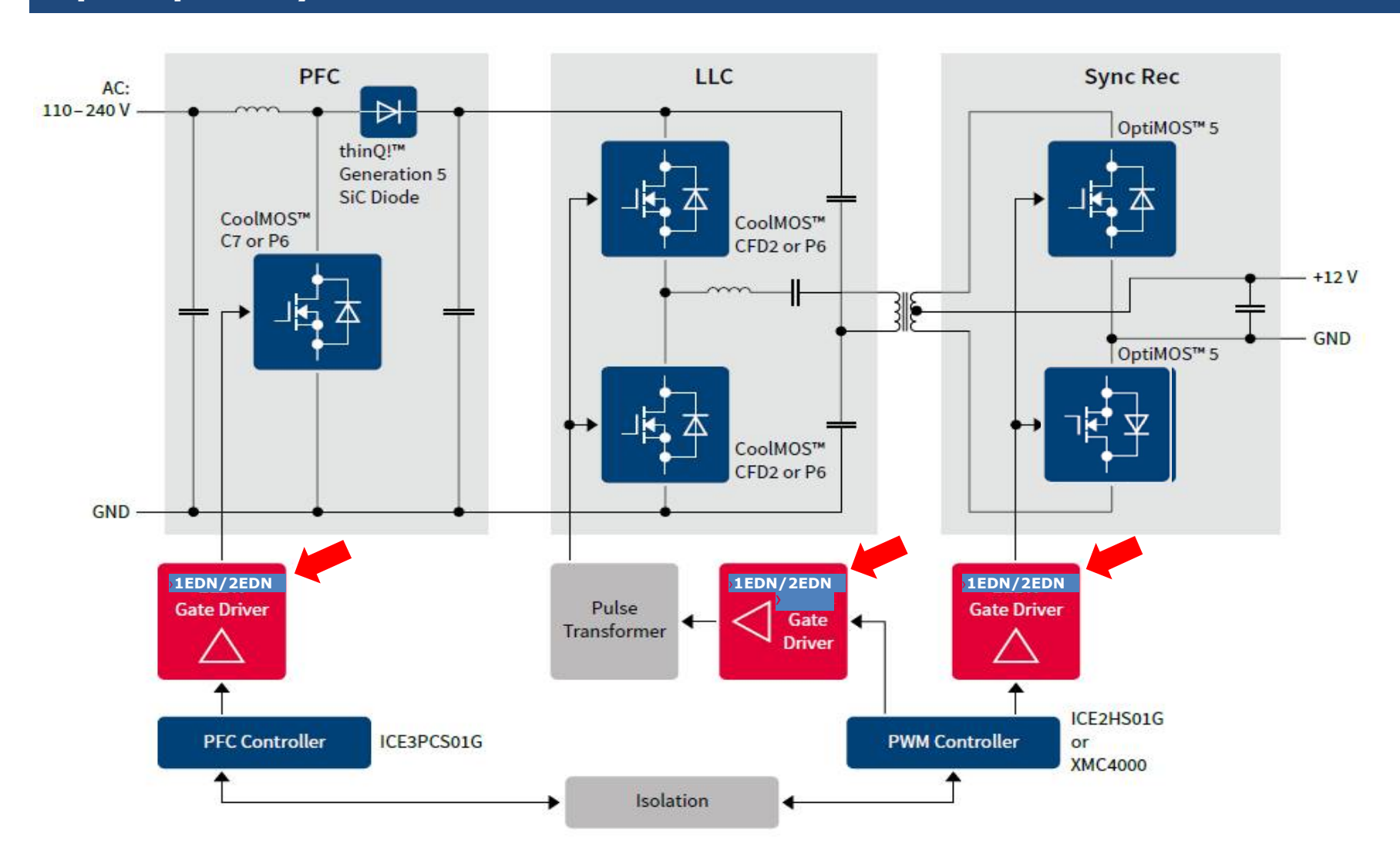
План вебинара

- 1 Типы активных ККМ. Их преимущества и недостатки
- Демонстрационная плата Boost PFC 800W от Infineon
- З Особенности работы микросхемы ККМ контроллера ICE3PCS01G
- 4 Новые линейки MOSFET транзисторов серии С7 и Р7
- 5 Параметры SiC диодов Шоттки 5-ого поколения
- 6 Параметры драйвера управления транзисторами 2EDN7524F
- Практическое сравнение работы различных поколений транзисторов и диодов в схеме ККМ от Infineon
- 8 Подведение итогов тестирования

Где применяются одно/двухканальные драйверы управления ключами нижнего плеча?

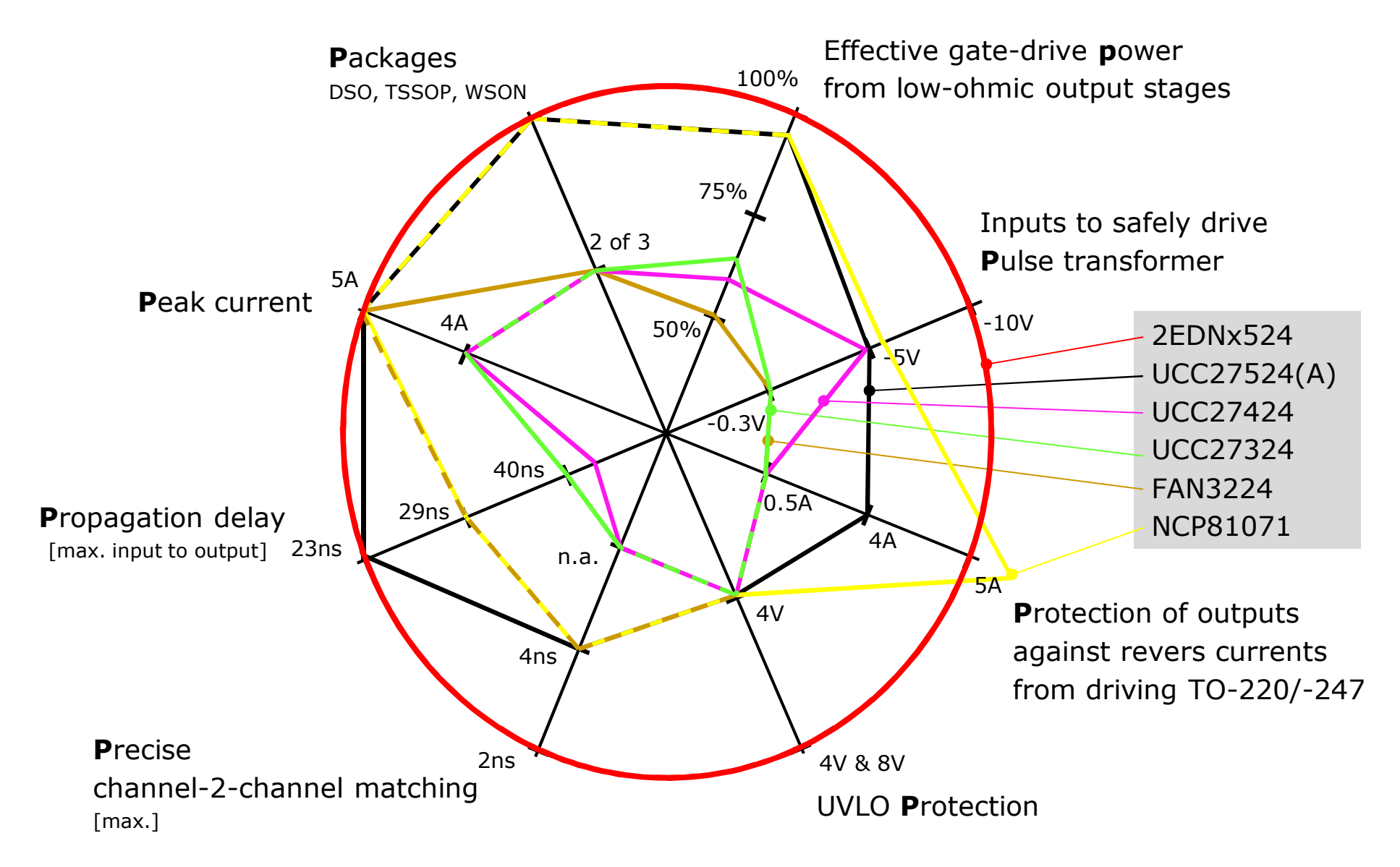


Пример: импульсный источник питания на 12 В мощностью до 1000W



2EDNx52x MOSFET EiceDRIVER™ Позиционирование семейства





Портфолио драйверов управления семейства 2EDNx52x



| Package | Typ. UVLO | Control Inputs | Sales Name | Orderable Part Number | | | | | | |
|---------|-----------|-----------------------|------------|-----------------------|-----|-----|-----|----------|-----------|----------------|
| | 4.1/ | direct | 2EDN7524F | 2EDN7524FXTMA1 | | | | | | |
| DCO | 4 V | inverted | 2EDN7523F | 2EDN7523FXTMA1 | | | | | | |
| DSO | 0.17 | direct | 2EDN8524F | 2EDN8524FXTMA1 | | | | | | |
| | 8 V | inverted | 2EDN8523F | 2EDN8523FXTMA1 | | | | | | |
| | | | | | | | | | | |
| | 4 V | direct | 2EDN7524R | 2EDN7524RXUMA1 | | | | | | |
| TCCOD | | inverted | 2EDN7523R | 2EDN7523RXUMA1 | | | | | | |
| TSSOP | 0.17 | direct | 2EDN8524R | 2EDN8524RXUMA1 | | | | | | |
| | 8 V | 8 V | 8 V | 8 V | 8 V | 8 V | 8 V | inverted | 2EDN8523R | 2EDN8523RXUMA1 |
| | | | | | | | | | | |
| WCON | 4 V | direct | 2EDN7524G | 2EDN7524GXTMA1 | | | | | | |
| WSON | 4 V | inverted | 2EDN7523G | 2EDN7523GXTMA1 | | | | | | |

Package identifier

Pitch

PCB area

F
8-pin DSO

1.27 mm
30 mm² (= 5 x 6)

R 8-pin TSSOP 0.65 mm 15 mm² (=5 x 3) G 8-pin WSON 0.65 mm 9 mm² (=3 x 3)

Infineon предлагает широкое портфолио микросхем



| | | infineon | | On Semiconductor | | Fairchild Semi. | | | | |
|----------------|---------------------------------|------------|----------------------------|------------------|-------------------------------------|-------------------------|-------------------------------------|-------------|-------------------------------------|--------|
| UVLO 2) | Pack | age | Control input config | Product | Min. control input voltage | Product | Min. control input voltage | Product | Min. control input voltage | |
| | DSO | d Infinen | direct | 2EDN7524F | -10 V | NCP81071BDR2G | -6 V | FAN3224TMX | -0.3 V | |
| | DSO | DSO | 3 3 3 3 | inverted | 2EDN7523F | -10 V | NCP81071ADR2G | -6 V | FAN3223TMX | -0.3 V |
| 4.17 | 4 V TSSOP | | direct | 2EDN7524R | -10 V | NCP81071BZR2G | -6 V | Not offer | od | |
| 4 V | | | inverted 2EDN7523R -10 V | NCP81071AZR2G | -6 V | Not offer | eu | | | |
| | WSON | | direct | 2EDN7524G | -10 V | NCP81071BMNTXG | -6 V | FAN3224TMPX | -0.3 V | |
| | VVSON | WSON ~ ~ | inverted | 2EDN7523G | -10 V | NCP81071AMNTXG | -6 V | FAN3223TMPX | -0.3 V | |
| | DSO | i Infineon | direct | 2EDN8524F | -10 V | Not offered | | Not offered | | |
| 8 V | D30 | 7 7 7 7 | inverted | 2EDN8523F | -10 V | Not offered | | | | |
| O V | TSSOP | | direct | 2EDN8524R | -10 V | Not offered Not offered | | ad | | |
| | 13307 | | inverted | 2EDN8523R | -10 V | | | Not offered | | |
| Output | Output resistance source / sink | | 0.65 Ω / 0.5 | $5 \Omega^{3)}$ | 0.8Ω / 0.8Ω $^{4)}$ | | ~1.5 Ω / ~1.5 Ω ³⁾ | | | |
| | | | | | | | | | | |

Fairchild: Lacks popular TSSOP package

Fairchild: Poor -0.3 V input noise immunity

Fairchild: High 1.5 Ω outputs

→ Only 100% larger leaded package

→ Risk of driver IC latch-up

→ 50% higher power dissipation

²⁾ Under-Voltage Lock-Out threshold

³⁾ measured

⁴⁾ data-sheet

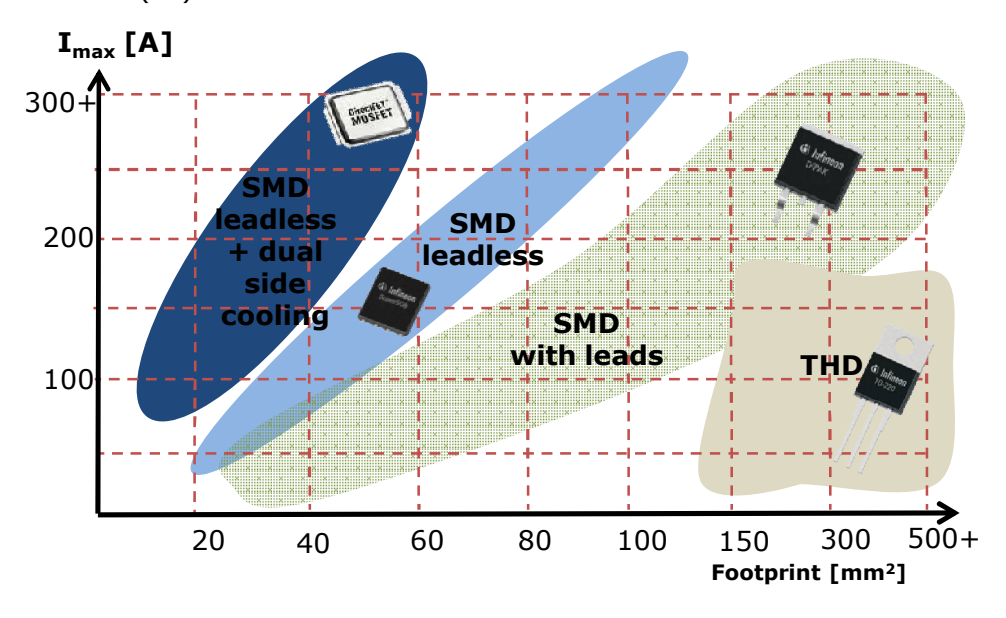
1EDN & 2EDN

Отлично подходят для управления OptiMOS™



OptiMOS[™] is the Industry leading trench power MOSFETs for broad range of switchmode and linear applications.

Wide product portfolio 20 V – 300 V and $R_{DS(on)}$ in a broad variety of packages:



OptiMOS™ Family attributes

5th Generation OptiMOS[™] family > Comprehensive know how & secure supply with

- Ultra low R_{DS(on)}
- > Industry best figure-of-merit
- > Best-in-class and price/performance
- High Efficiency and power density
- Reduced switching and conduction losses





















1EDN & 2EDN

Отлично подходят для управления CoolMOS™



SJ MOSFETs outperform standard MOS & IGBT in SMPS applications

- Small die sizes & capacitances result in lowest switching losses & enable best in class R_{DS(on)}
- Conduction losses are scalable via R_{DS(on)}

Portfolio Better efficiency Lower price Highest efficiency Fast switching **C7** P-Series Good price/ CP performance General purpose P6 (PFC/LLC) C6/E6 **CFD-Series** Fast body diode CFD2 (ZVS PS FB/ LLC) CFD Preferred parts 2016 Time Active parts 2016

Infineon CoolMOS™ offer

- Worlds largest portfolio of SJ devices
 - from highest performance to low-cost general purpose parts
- 2 Highest efficiency & power density, outperforming all SJ competitors in terms of
 - switching losses
 - $R_{DS(on)}$ in package
- **3** Unrivalled quality
 - 0,04 dpm 61 fails over 1,5 bn shipped parts
- 4 Highest **supply security** & delivery performance
- 5 World leading **track record** & attractive future roadmap



План вебинара

- 1 Типы активных ККМ. Их преимущества и недостатки
- Демонстрационная плата Boost PFC 800W от Infineon
- З Особенности работы микросхемы ККМ контроллера ICE3PCS01G
- 4 Новые линейки MOSFET транзисторов серии С7 и Р7
- 5 Параметры SiC диодов Шоттки 5-ого поколения
- 6 Параметры драйвера управления транзисторами 2EDN7524F
- Практическое сравнение работы различных поколений транзисторов и диодов в схеме ККМ от Infineon
- 8 Подведение итогов тестирования

Испытательный стенд и методика проведения испытания



Рабочая точка схемы при тестировании:

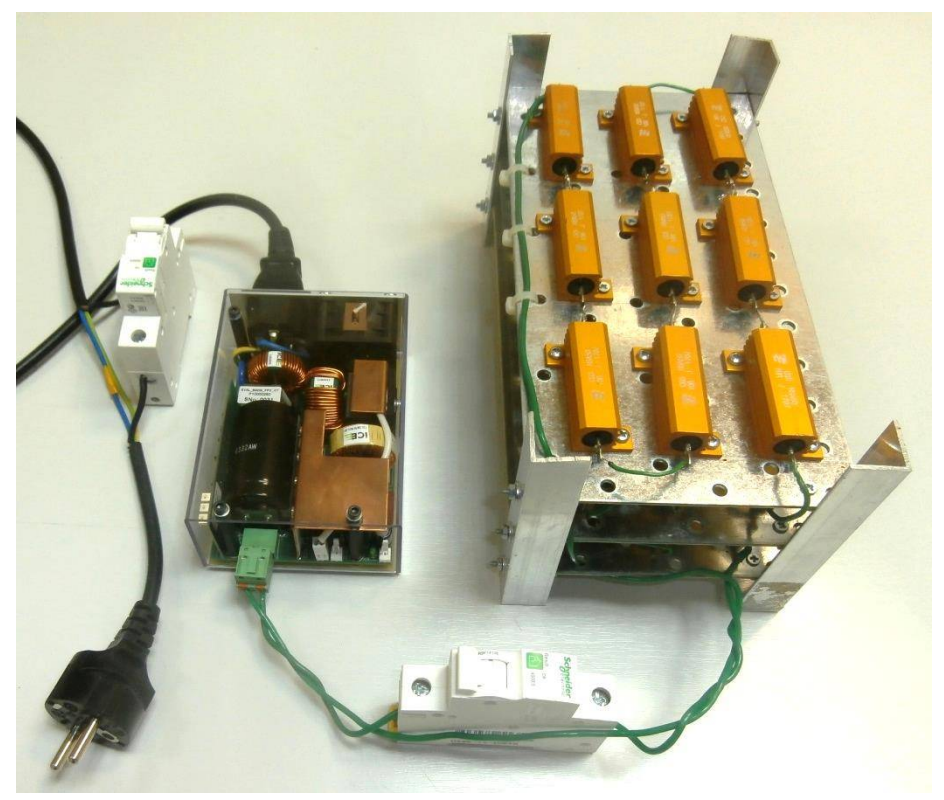
Выходное напряжение: 379 V

Сопротивление нагрузки: **270 Ohm**

Выходной ток: 1.404 А

Выходная мощность: **532 W**

Отношение к ном. вых. мощности: 66.5 %





Описание работы системы охлаждения:

Охлаждение – естественное принудительное (с помощью вентилятора);

Вентилятор работает на 2-х скоростях – низкой и высокой.

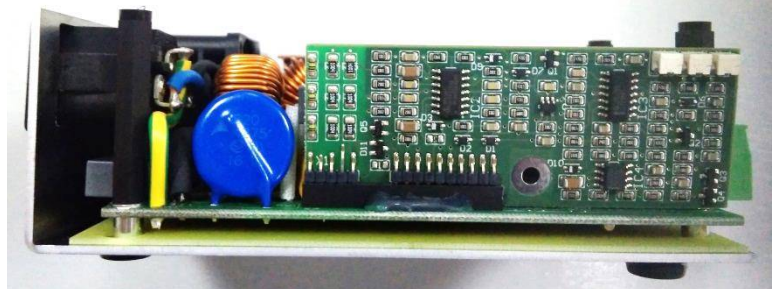
При достижении на РТС элементе медного радиатора температуры 57°С запускается вентилятор с низкой скоростью.

При достижении на РТС элементе медного радиатора температуры 79°С вентилятор переходит на высокую скорость.

Испытательный стенд и методика проведения тестирования





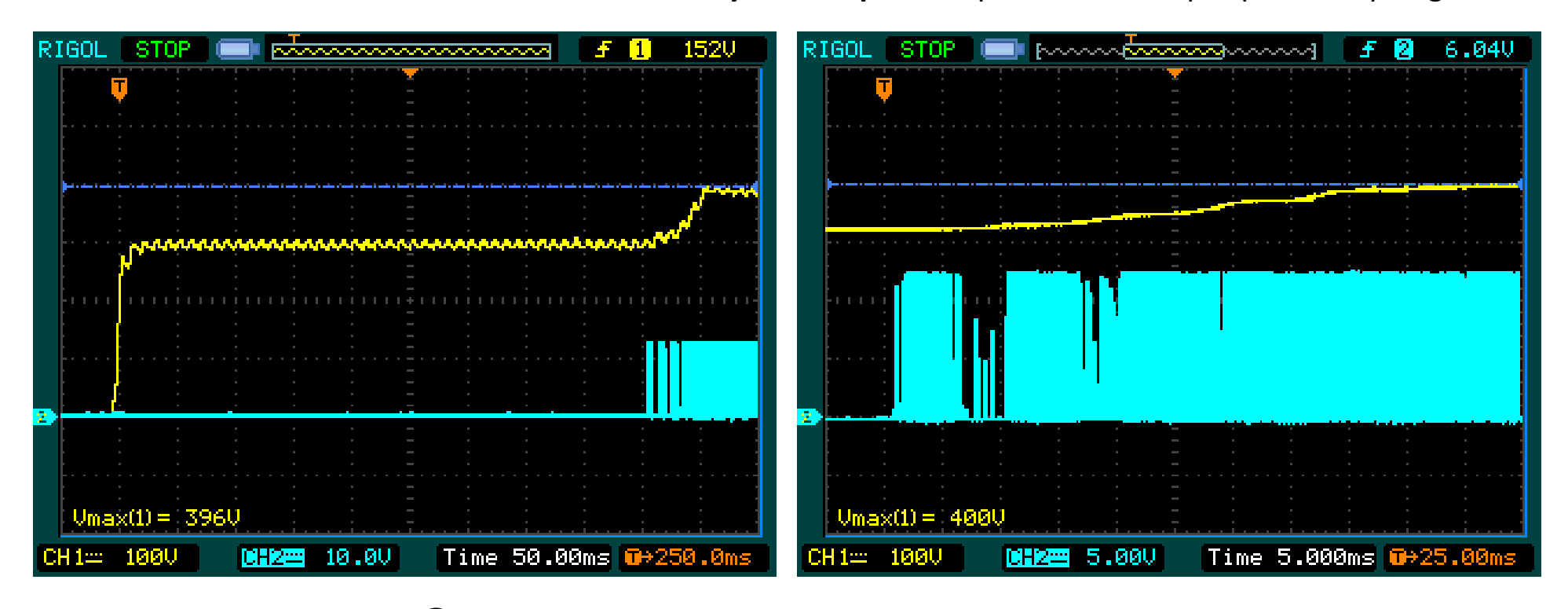


| Список применяемого оборудования | | | | | |
|------------------------------------|-------------------------------------|--|--|--|--|
| Осциллограф | Rigol DS1052 | | | | |
| Мультиметр | UNI-T UT50C | | | | |
| Тепловизор | IDEAL 61-848EU | | | | |
| Защитный автомат №1 | Schneider Electric C6 | | | | |
| Защитный автомат №2 | Schneider Electric C6 | | | | |
| Нагрузка | 27 резисторов HSA50 R = 10 Ω | | | | |
| Измерение сетевого тока | Резистор выводной 2 Вт R = 0.1 Ω | | | | |
| Измерение тока диод в схеме PFC | Резистор SMD 1210 R = 0.1 Ω | | | | |

Общее тестирование схемы PFC CCM 800W Плавный запуск схемы



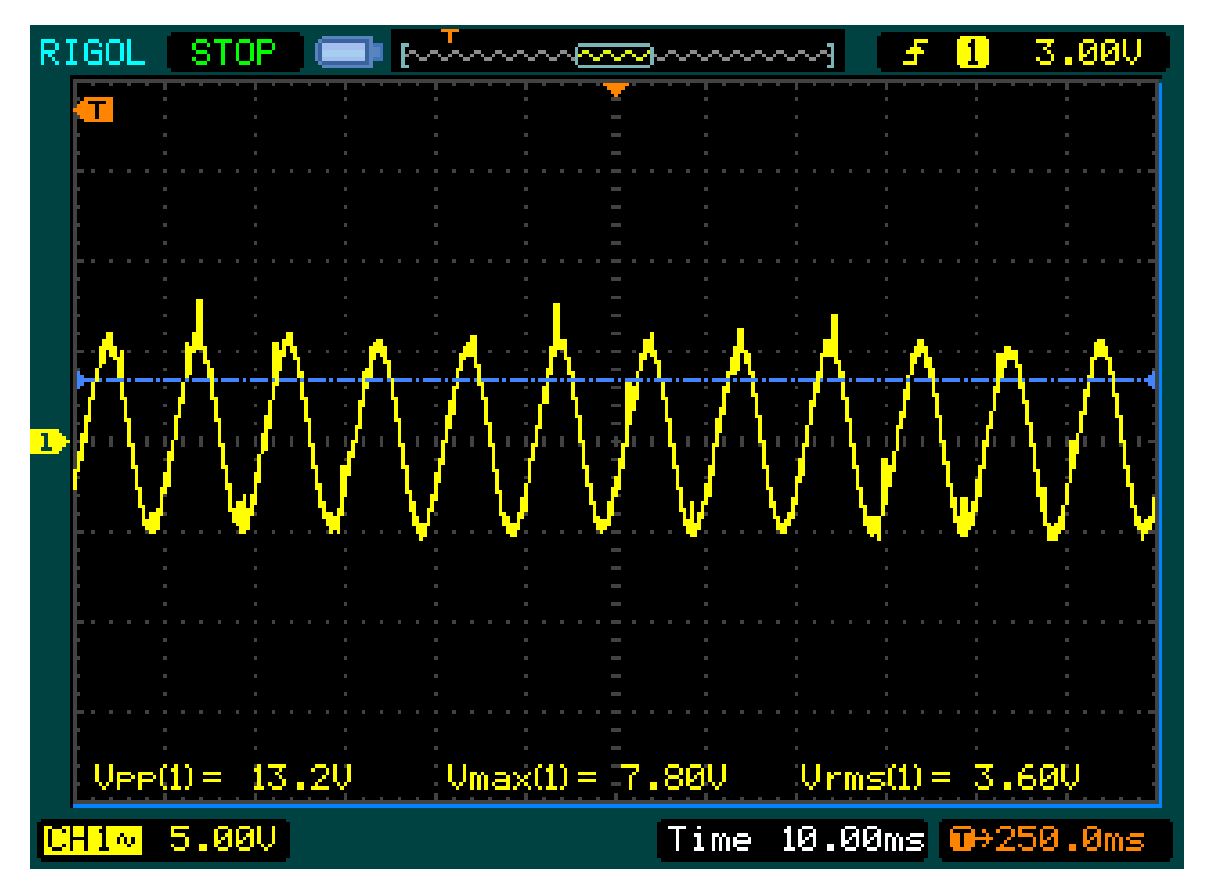
Желтая эпюра — выходное напряжение Vout **Голубая эпюра** — напряжение затвора транзистора Vgs



Осциллограммы плавного запуска схемы KKM 800W под нагрузкой Запуск за время 500 мс.

Общее тестирование схемы PFC CCM 800W Пульсации выходного напряжения





Осциллограмма пульсаций выходного напряжения схемы ККМ под нагрузкой ~1.4 A

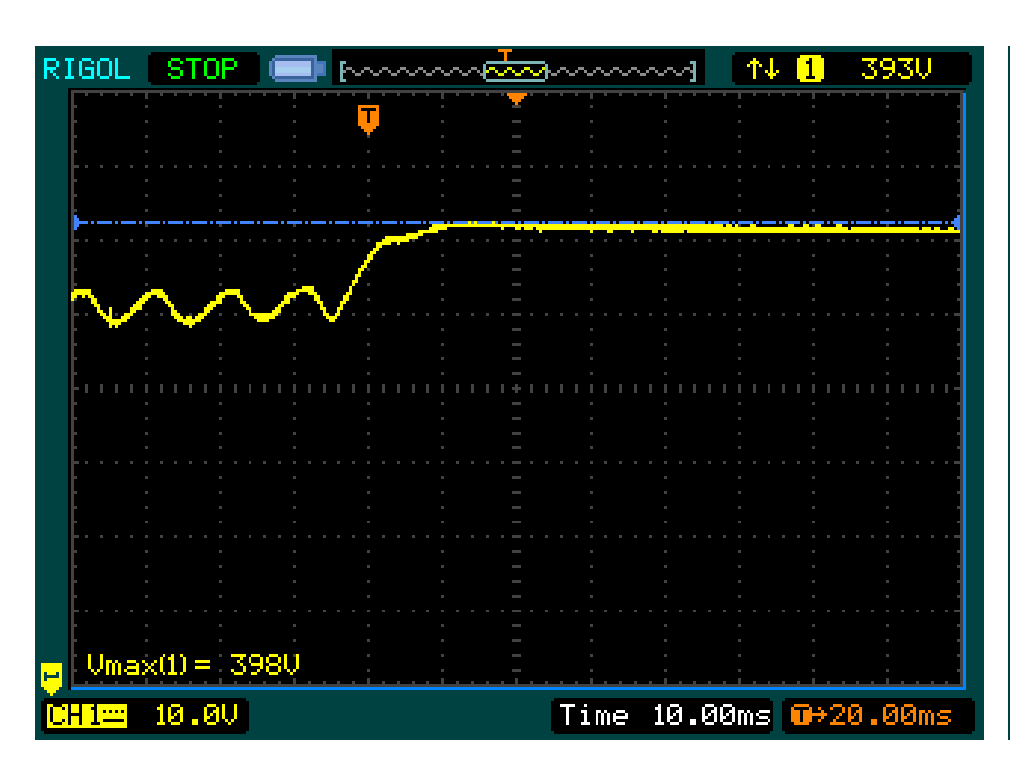
Справочно: Cout = 470 uF, L = 220 uH

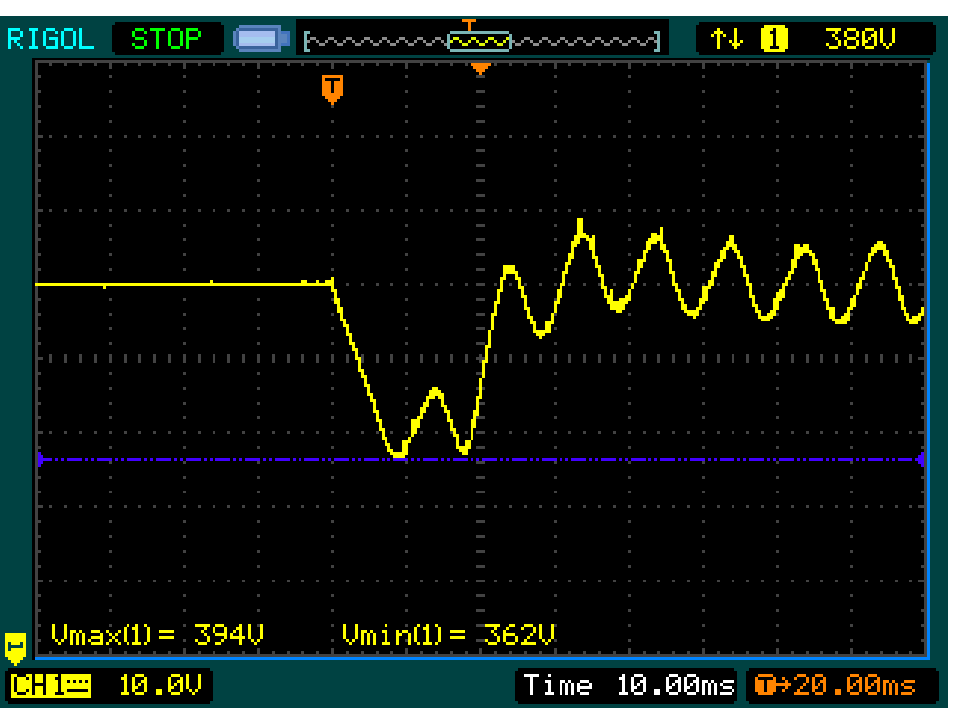
Желтая эпюра — выходное напряжение Vout Голубая эпюра — напряжение затвора транзистора Vgs

Общее тестирование схемы PFC CCM 800W Сброс и наброс нагрузки









Осциллограмма сброса нагрузки. Напряжение «подпрыгивает» до 398 В.

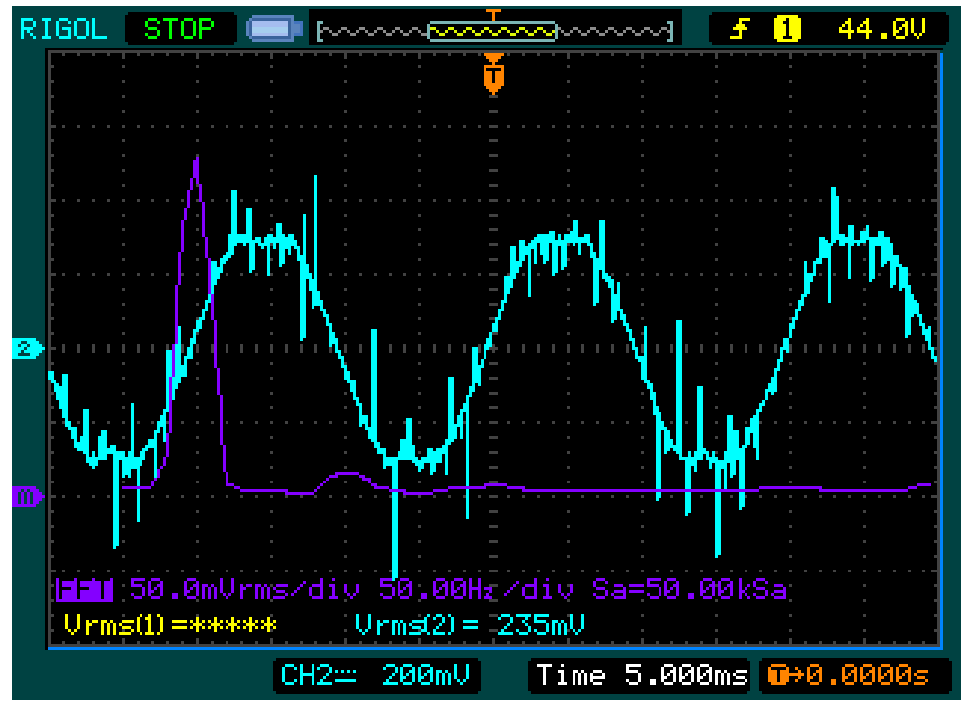
Осциллограмма наброса нагрузки. Напряжение проседает до 362 В.

Общее тестирование схемы PFC CCM 800W Форма потребляемого из сети тока и его гармоники



Желтая эпюра — входное напряжение Vin **Голубая эпюра** — напряжение на шунте 0.1 Ω входной цепи





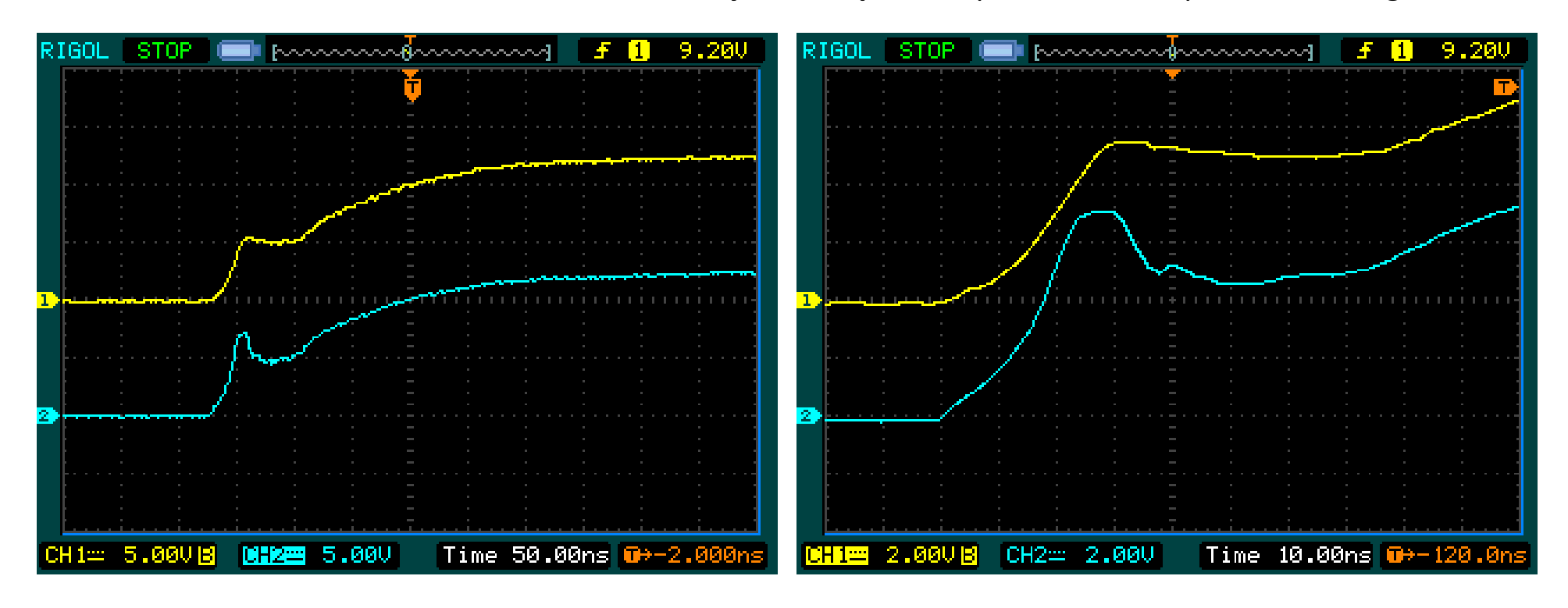
Осциллограмма потребляемого из сети тока и сетевого напряжения. Ток измеряется на шунте R = 0.1 Ω

Осциллограмма потребляемого из сети тока с функцией быстрого преобразования Фурье - FFT

Общее тестирование схемы PFC CCM 800W Параллельная работа транзисторов MOSFET



Желтая эпюра — напряжение затвора mosfet #1 Vgs1 **Голубая эпюра** — напряжение затвора mosfet #2 Vgs2



Осциллограммы напряжения на затворе двух MOSFET IPP60R180C7 при параллельной работе с помощью двухканального драйвера **2EDN7524F Разбег напряжений не превышает 1-2 ns.**

Различные комбинации приборов (диод и mosfet) при проведении опытов



| Номер комбинации | MOSFET | Комментарий | Диод | Комментарий |
|---------------------|-------------|---------------------|------------|-------------------|
| 1 | IPP60R180C7 | CoolMOS Серия С7 | IDH06G65C5 | CoolSiC Gen5 |
| 2 | IPP60R180C7 | CoolMOS Серия С7 | IDP08E65D1 | Rapid diode Gen 1 |
| 3 | IPP60R190P6 | CoolMOS Серия Р6 | IDH06G65C5 | CoolSiC Gen5 |
| 4 | SIHP15N60E | Vishay Siliconix | IDH06G65C5 | CoolSiC Gen5 |
| 5 | SPP20N60C3 | CoolMOS Серия С3 | IDP08E65D1 | Rapid diode Gen 1 |

Таблица параметров тестируемых MOSFET в схеме KKM



| Параметр из datasheet | IPP60R180C7 | IPP60R190P6 | SPP20N60C3 | SIHP15N60E |
|-----------------------|-------------|-------------|------------|------------|
| Серия | CoolMOS C7 | CoolMOS P6 | CoolMOS C3 | Vishay |
| Id @ 25°C | 13 A | 20.2 A | 20.7 A | 15 A |
| Vds | 600 V | 600 V | 600 V | 600 V |
| Rds(on) @ 25°C | 180 mOhm | 190 mOhm | 190 mOhm | 280 mOhm |
| Rds(on) @ 100°C | 260 mOhm | 290 mOhm | 295 mOhm | 500 mOhn |
| Qgate | 24 nC | 37 nC | 87 nC | 78 nC |
| FOM (Rds(on) x Qgate) | 4,32 | 7,03 | 16,53 | 21,84 |
| Ciss | 1080 pF | 1750 pF | 2400 pF | 1350 pF |
| Coss | 18 pF | 76 pF | 780 pF | 70 pF |
| Rth_jc | 1,832 K/W | 0.83 K/W | 0.6 K/W | 0.7 K/W |
| Отн. стоимость | 1.00 | 0.87 | 1.13 | 1.37 |

Таблица параметров тестируемых диодов схемы ККМ



| Параметр из datasheet | IDH06G65C5 | IDP08E65D1 |
|----------------------------|------------|------------|
| ld @ 125°C | 6A | 8 A |
| Vdc | 650 V | 650 V |
| Vf @ 25°C | 1.5 V | 1.35 V |
| Vf @ 150°C | 1.8 V | 1.28 V |
| Qrr | 10 nC | 200 nC |
| trr | - | 51 ns |
| Cj | 24 pF | - |
| Относительная стоимость | 1.00 | 0.35 |

Тестирование различных комбинаций приборов при продолжительной работе на нагрузку

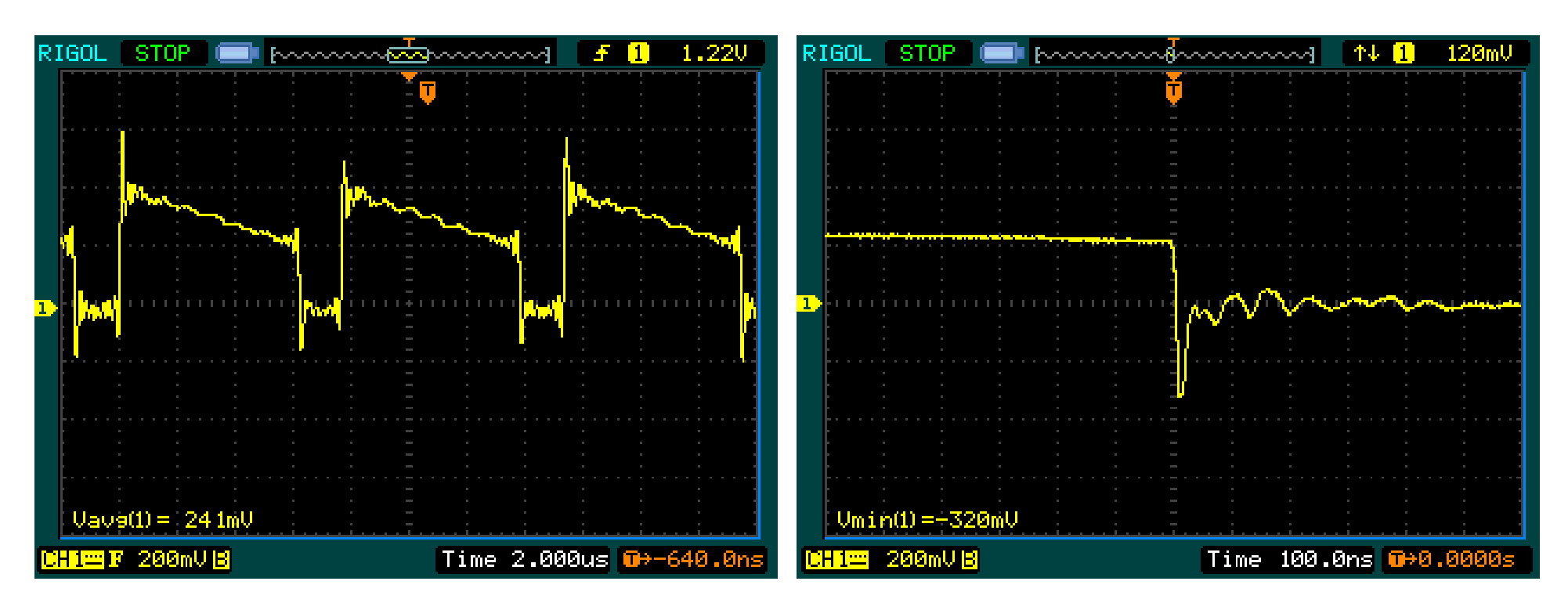


| | Ko | омбинация 1 | Комбинация 2 | | |
|--------------------------------|---------------------------|-------------------|--------------|------------------------|--|
| Наименование приборов схемы | IPP60R180C7 IDH06G65C5 | | | P60R180C7 DP08E65D1 | |
| | 5:18 | Вкл. вент. скор.1 | 2:50 | Вкл. вент. скор.1 | |
| | 7:43 | Выкл. вент. | 3:10 | Вкл. вент. скор.2 | |
| | 10:56 | Вкл. вент. скор.1 | 20:00 | Работа на скор. 2 | |
| Работа на нагрузку в | 13:08 | Выкл. вент. | | | |
| течение 20 минут | 16:11 | Вкл. вент. скор.1 | | | |
| | 18:47 | Выкл. вент. | | | |
| | 20:00 | Вент. выключен | | | |
| | | | | | |

Осциллограммы Комбинации 1. Ток SiC диода Шоттки



Желтая эпюра – напряжение на шунте в цепи диода схемы



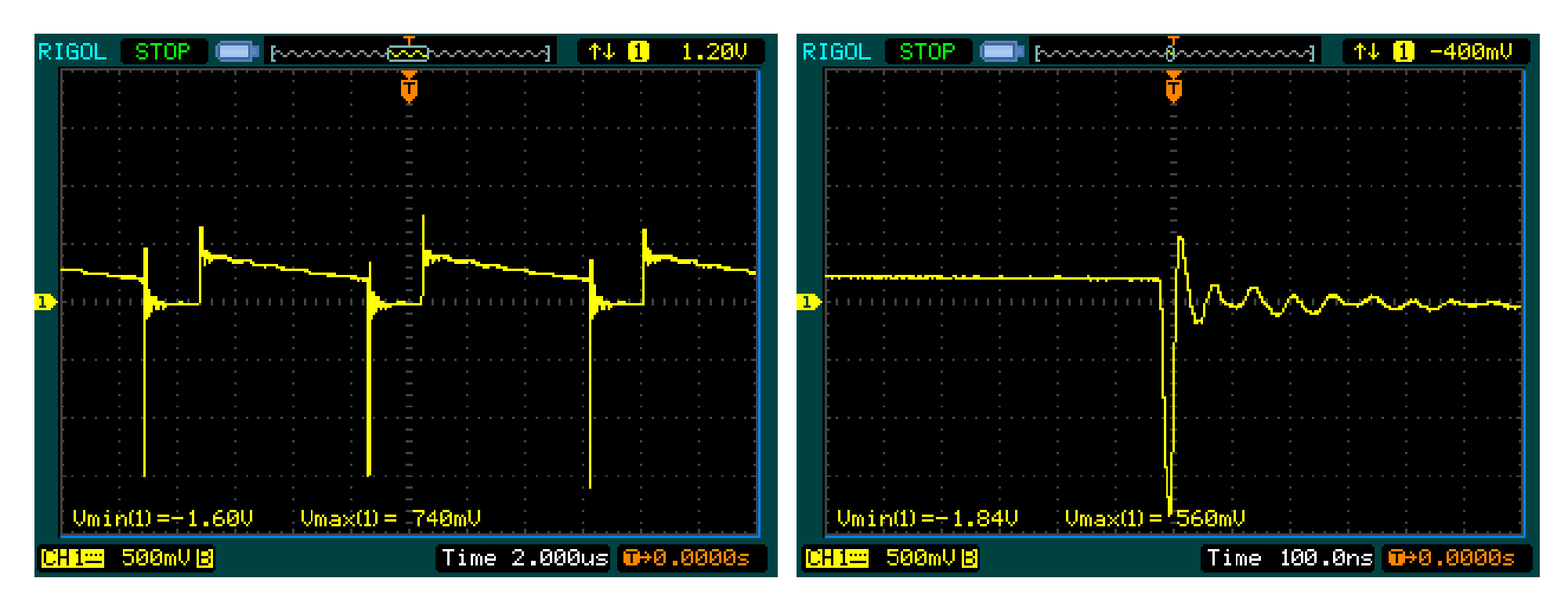
Осциллограммы тока SiC диода Шоттки IDH06G65C5.

Измерение проводится на шунте $R=0.1~\Omega$

Осциллограммы Комбинации 2. Ток ultra-fast диода



Желтая эпюра — напряжение на шунте в цепи диода схемы



Осциллограммы тока диода типа ultra-fast IDP08E65D1.

Измерение проводится на шунте $R = 0.1 \Omega$

Осциллограммы Комбинации 2. Ток ultra-fast диода



Желтая эпюра – напряжение на шунте в цепи диода схемы



Осциллограммы тока диода типа ultra-fast IDP08E65D1.

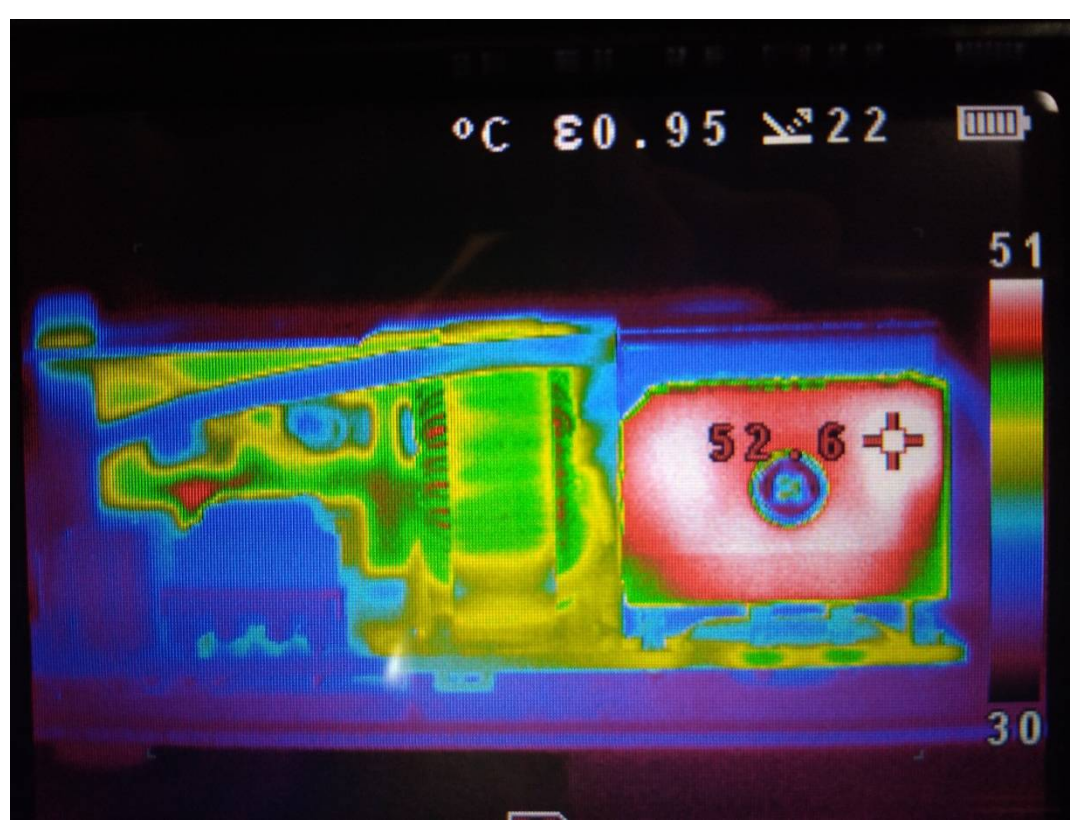
<u>Чем меньше значение тока в конце периода,</u> <u>тем меньше бросок обратного тока</u> Измерение проводится на шунте R = 0.1 Ω

Измерение температуры приборов для Комбинации 1





Температура на радиаторе вблизи силовых полупроводников составляет примерно 45-46 °C



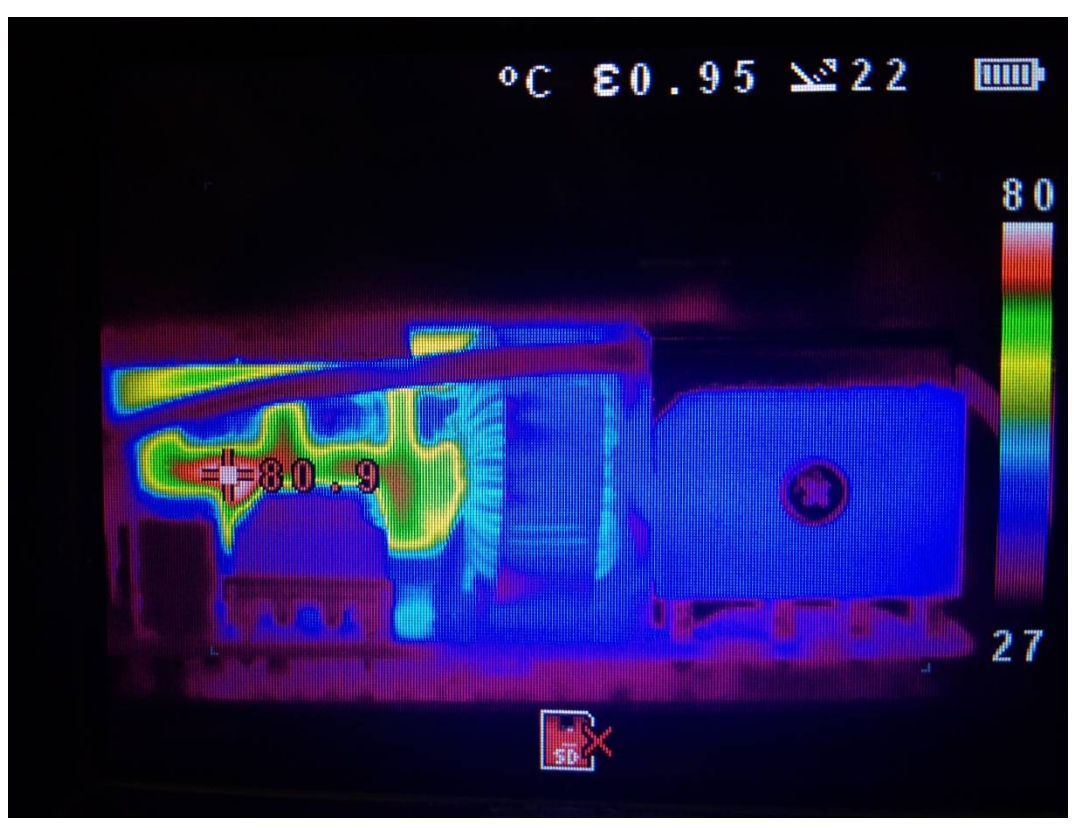
Измерение температуры приборов для Комбинации 2





Температура на радиаторе вблизи ultra-fast диода составляет примерно 80-81 °C.

Очевидно, что потери на диоде заметно выше, чем на транзисторах.



Тестирование различных комбинаций приборов при продолжительной работе на нагрузку

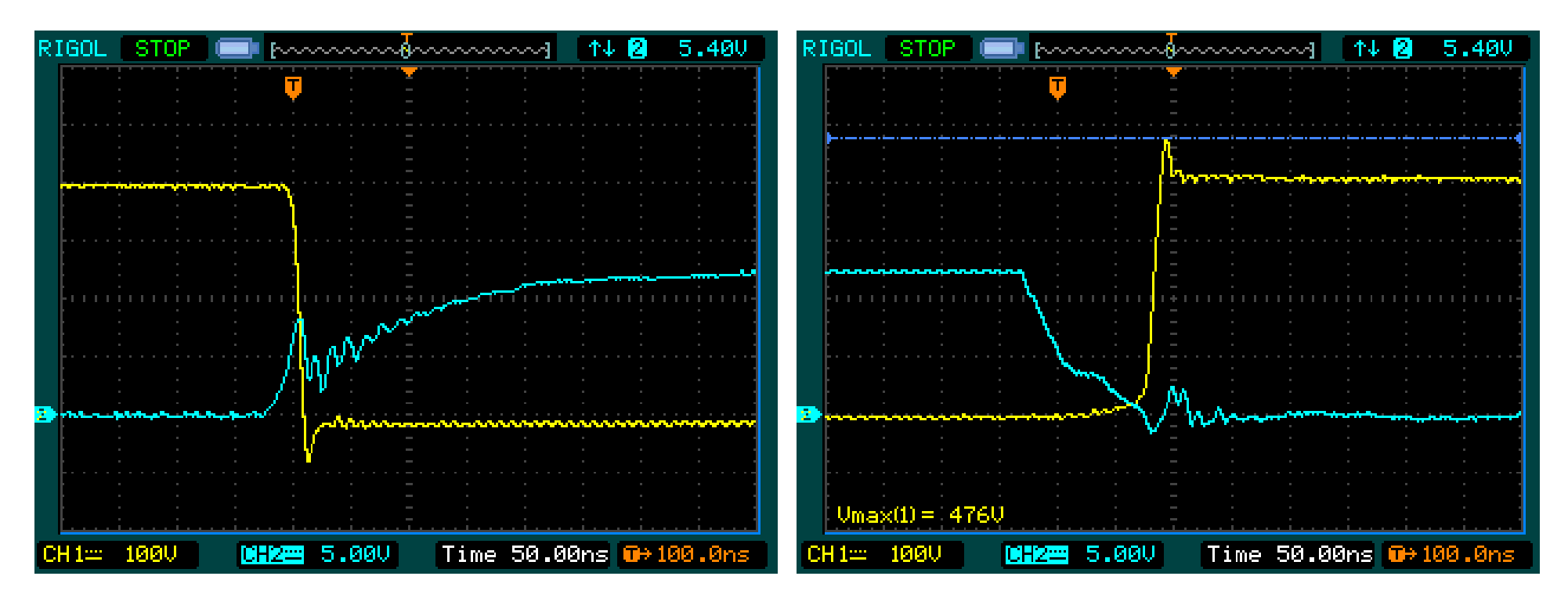


| | Ko | омбинация 1 | Комбинация 3 | | |
|--------------------------------|---------------------------|--------------------|---------------------------|--------------------|--|
| Наименование приборов схемы | IPP60R180C7 IDH06G65C5 | | IPP60R190P6 IDH06G65C5 | | |
| | 5:18 | Вкл. вент. скор. 1 | 4:41 | Вкл. вент. скор. 2 | |
| | 7:43 | Выкл. вент. | 6:25 | Вкл. вент. скор. 2 | |
| | 10:56 | Вкл. вент. скор. 1 | 20:00 | Работа с скор. 2 | |
| Работа на нагрузку в | 13:08 | Выкл. вент. | | | |
| течение 20 минут | 16:11 | Вкл. вент. скор. 1 | | | |
| | 18:47 | Выкл. вент. | | | |
| | 20:00 | Вент. выключен | | | |
| | | | | | |

Осциллограммы Комбинации 1. Процесс включения и выключения транзисторов



Желтая эпюра — Напряжение сток-исток транзистора Vds **Голубая эпюра** — напряжение затвора транзистора Vgs

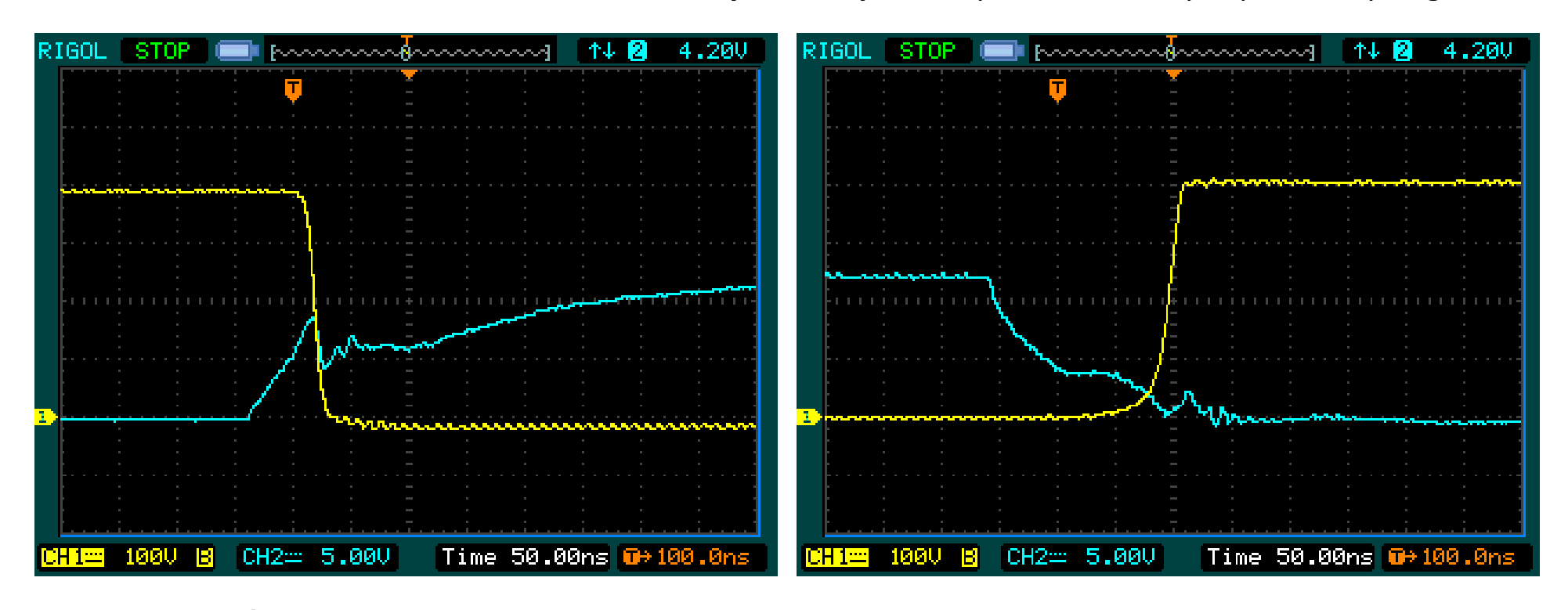


Осциллограммы процесса включение и выключения MOSFET IPP60R180C7.
Твкл = 200 ns, Твыкл = 150 ns.

Осциллограммы Комбинации 3. Процесс включения и выключения транзисторов



Желтая эпюра – Напряжение сток-исток транзистора Vds **Голубая эпюра** – напряжение затвора транзистора Vgs



Осциллограммы процесса включение и выключения MOSFET IPP60R190P6.

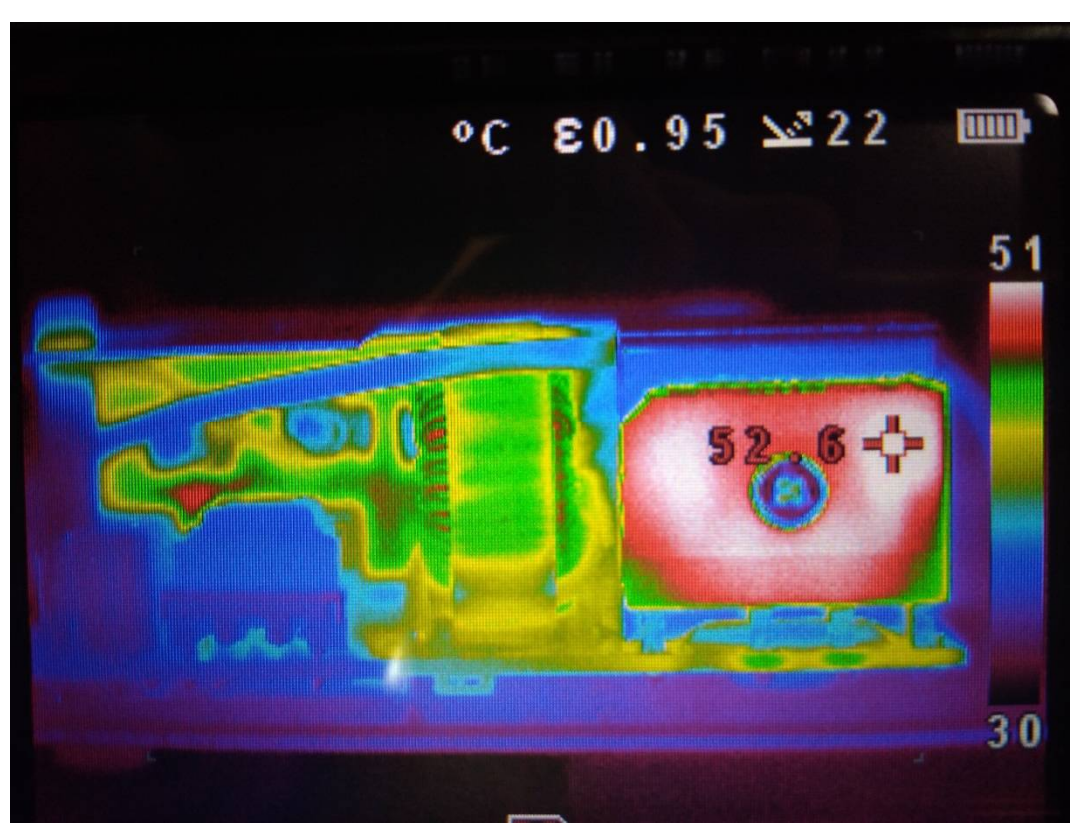
Твкл = 325ns, Твыкл = 200 ns

Измерение температуры приборов для Комбинации 1





Температура на радиаторе вблизи силовых полупроводников составляет примерно 45-46 °C



Измерение температуры приборов для Комбинации 3





Температура на радиаторе вблизи силовых полупроводников составляет примерно 63-64 °C



Тестирование различных комбинаций приборов при продолжительной работе на нагрузку

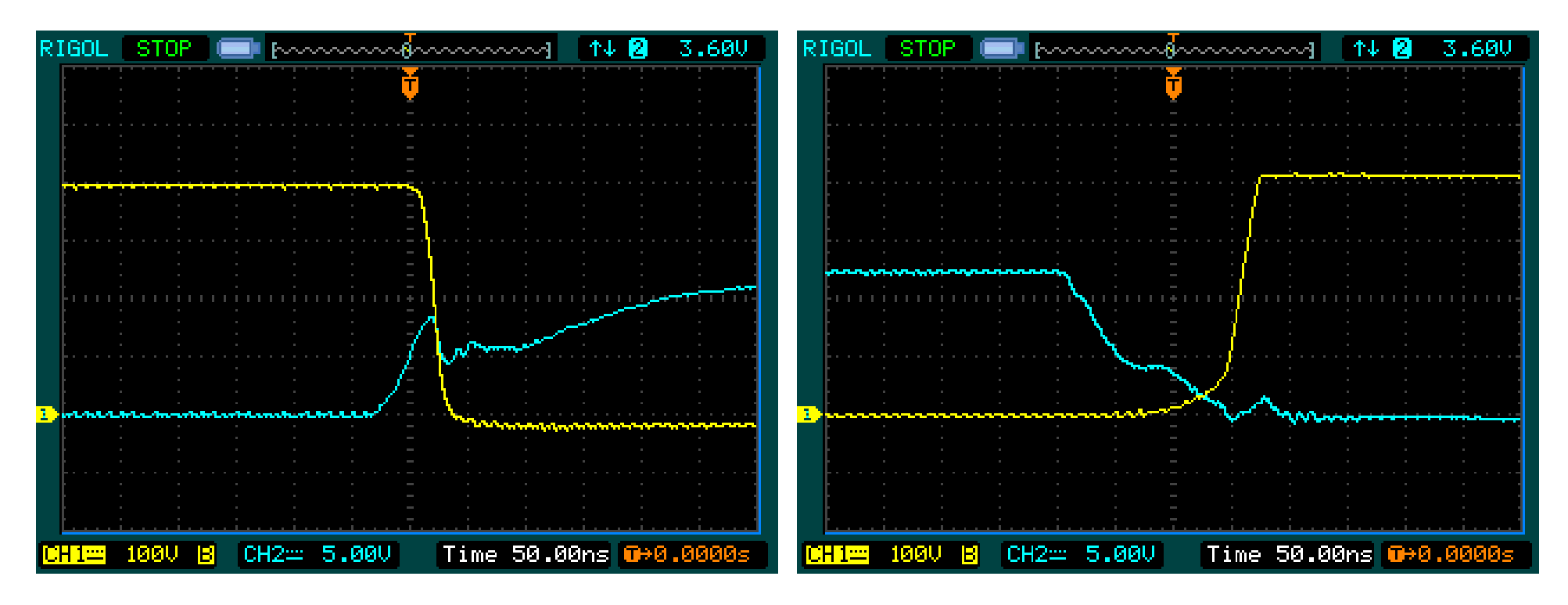


| | К | омбинация 1 | Комбинация 4 | | |
|--------------------------------|---------------------------|--------------------|--------------|-----------------------|--|
| Наименование приборов схемы | IPP60R180C7 IDH06G65C5 | | | HP15N60E)H06G65C5 | |
| | 5:18 Вкл. вент. скор. 1 | | 4:03 | Вкл. вент. скор. 1 | |
| | 7:43 | Выкл. вент. | 5:24 | Вкл. вент. скор. 2 | |
| | 10:56 | Вкл. вент. скор. 1 | 20:00 | Работа на скор. 2 | |
| Работа на нагрузку в | 13:08 | Выкл. вент. | | | |
| течение 20 минут | 16:11 | Вкл. вент. скор. 1 | | | |
| | 18:47 | Выкл. вент. | | | |
| | 20:00 | Вент. выключен | | | |
| | | | | | |

Осциллограммы Комбинации 4. Процесс включения и выключения транзисторов



Желтая эпюра — Напряжение сток-исток транзистора Vds **Голубая эпюра** — напряжение затвора транзистора Vgs



Осциллограммы процесса включение и выключения MOSFET SIHP15N60E (Vishay Siliconix). Твкл = 275 ns, Твыкл = 200 ns.

Измерение температуры приборов для Комбинации 4





Температура на радиаторе вблизи силовых полупроводников составляет примерно 65-66 °C



Тестирование различных комбинаций приборов при продолжительной работе на нагрузку

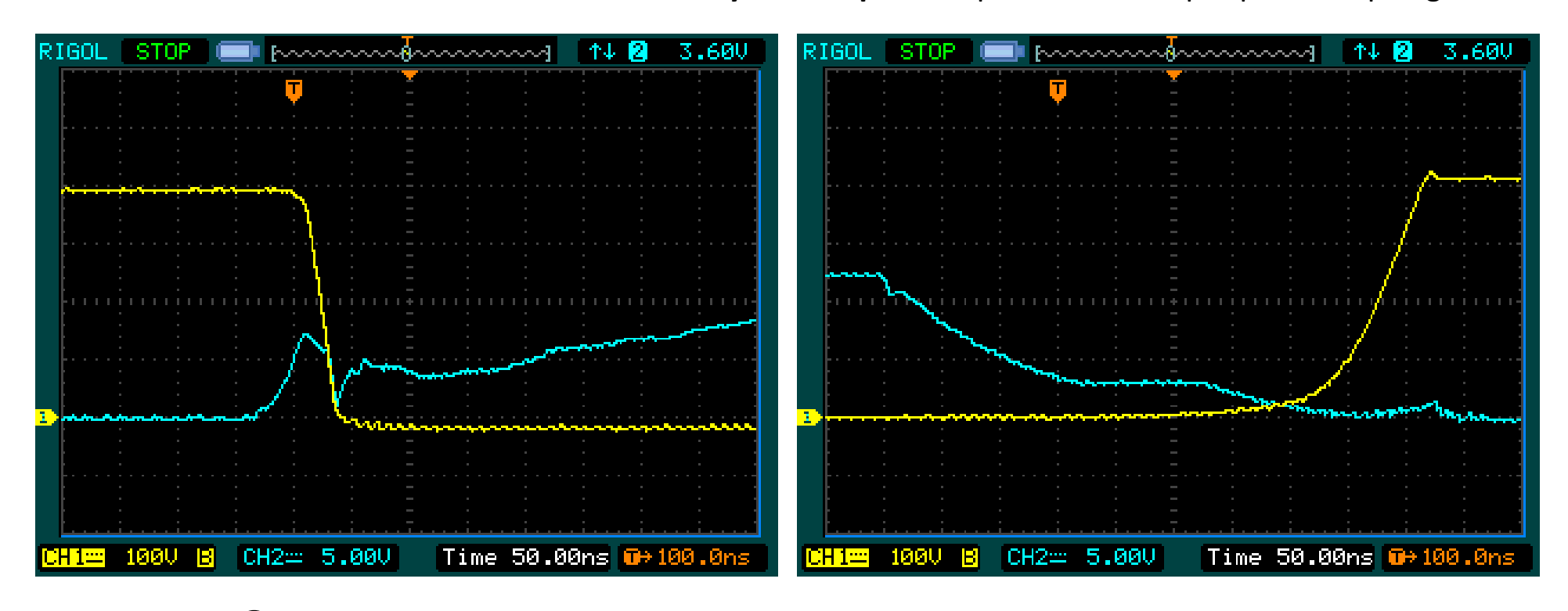


| | К | омбинация 2 | Комбинация 5 | | |
|--------------------------------|---------------------------|--------------------|--------------|--------------------------|--|
| Наименование приборов схемы | IPP60R180C7 IDP08E65D1 | | | SPP20N60C3 IDP08E65D1 | |
| | 2:50 | Вкл. вент. скор. 1 | 1:35 | Вкл. вент. скор. 1 | |
| | 3:10 | Вкл. вент. скор. 2 | 2:56 | Вкл. вент. скор. 2 | |
| | 10:00 | Работа на скор. 2 | 10:00 | Работа на скор. 2 | |
| Работа на нагрузку в | | | | | |
| течение 10 минут | | | | | |
| | | | | | |
| | | | | | |
| | | | | | |

Осциллограммы Комбинации 5. Процесс включения и выключения транзисторов



Желтая эпюра — Напряжение сток-исток транзистора Vds **Голубая эпюра** — напряжение затвора транзистора Vgs



Осциллограммы процесса включение и выключения MOSFET SPP20N60C3.
Твкл > 450 ns, Твыкл = 450 ns.

Измерение температуры приборов для Комбинации 5





Температура на радиаторе вблизи силовых полупроводников составляет примерно 92.6 °C

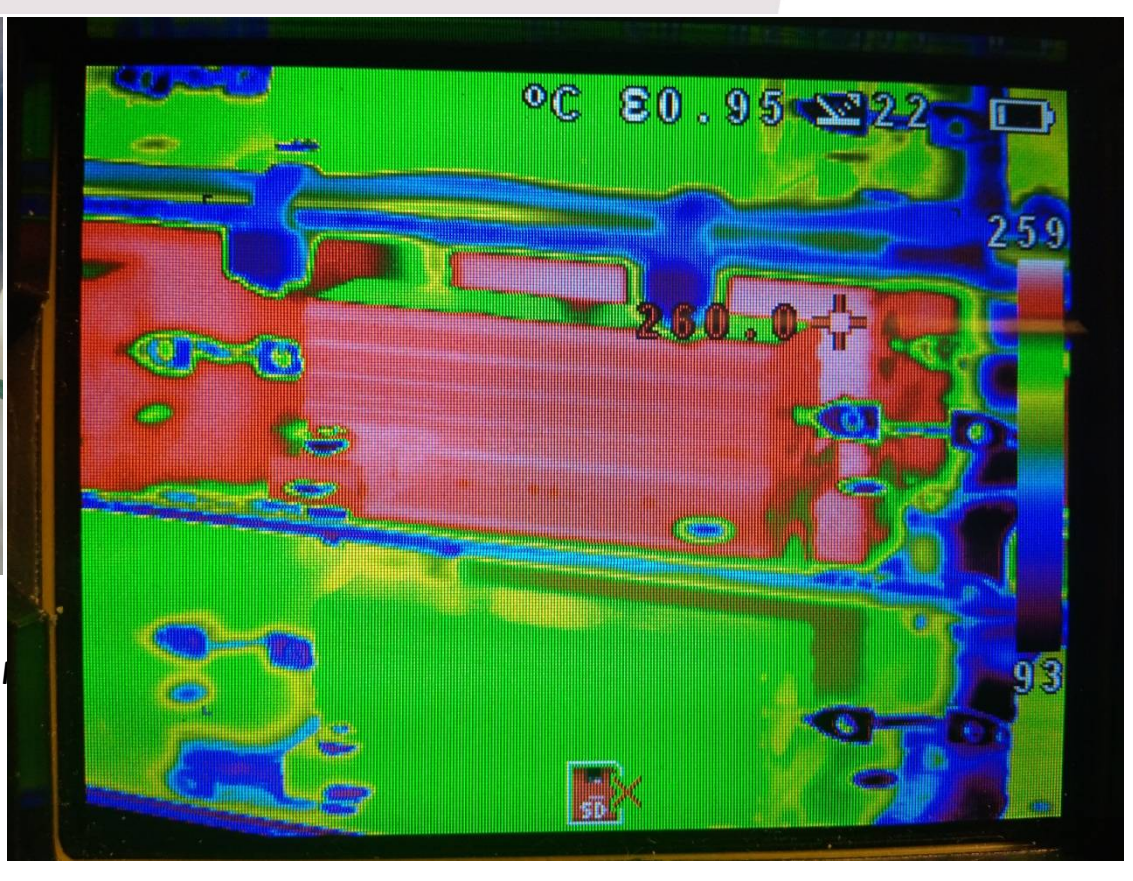


Нагрев резисторов нагрузки во время испытаний





Была зафиксирована температура самого горячего резистора на средне уровне всей сборки – 260°C Серия резисторов HSA50.





План вебинара

- 1 Типы активных ККМ. Их преимущества и недостатки
- 2 Демонстрационная плата Boost PFC 800W от Infineon
- 3 Особенности работы микросхемы ККМ контроллера ICE3PCS01G
- 4 Новые линейки MOSFET транзисторов серии С7 и Р7
- 5 Параметры SiC диодов Шоттки 5-ого поколения
- 6 Параметры драйвера управления транзисторами 2EDN7524F
- Практическое сравнение работы различных поколений транзисторов и диодов в схеме ККМ от Infineon
- 8 Подведение итогов тестирования

Обобщение результатов тестирования



| Номер комбинации | 1 | 2 | 3 | 4 | 5 |
|---|-------------|------------------|-------------|------------|------------|
| MOSFET | IPP60R180C7 | IPP60R180C7 | IPP60R190P6 | SIHP15N60E | SPP20N60C3 |
| Диод | IDH06G65C5 | IDP08E65D1 | IDH06G65C5 | IDH06G65C5 | IDP08E65D1 |
| Время первого вкл.вентилятора | 5:18 | 2:50 | 4:41 | 4:03 | 1:35 |
| Температура радиатора в конце тестирования | 46 °C | 81 °C | 53 °C | 66 °C | 94 °C |
| Относительная стоимость комбинации (диод + транзистор)* | 2.28 | 1.46 | 2.15 | 2.65 | 1.59 |
| Оценка эффективности работы системы охлаждения | Хорошо | Ниже среднего | Средне | Средне | Плохо |

^{*} Все цены взяты относительно стоимости транзистора IPP60R180C7 (Стоимость IPP60R180C7 на 5000 шт. принята за 1)



Спасибо за внимание!



